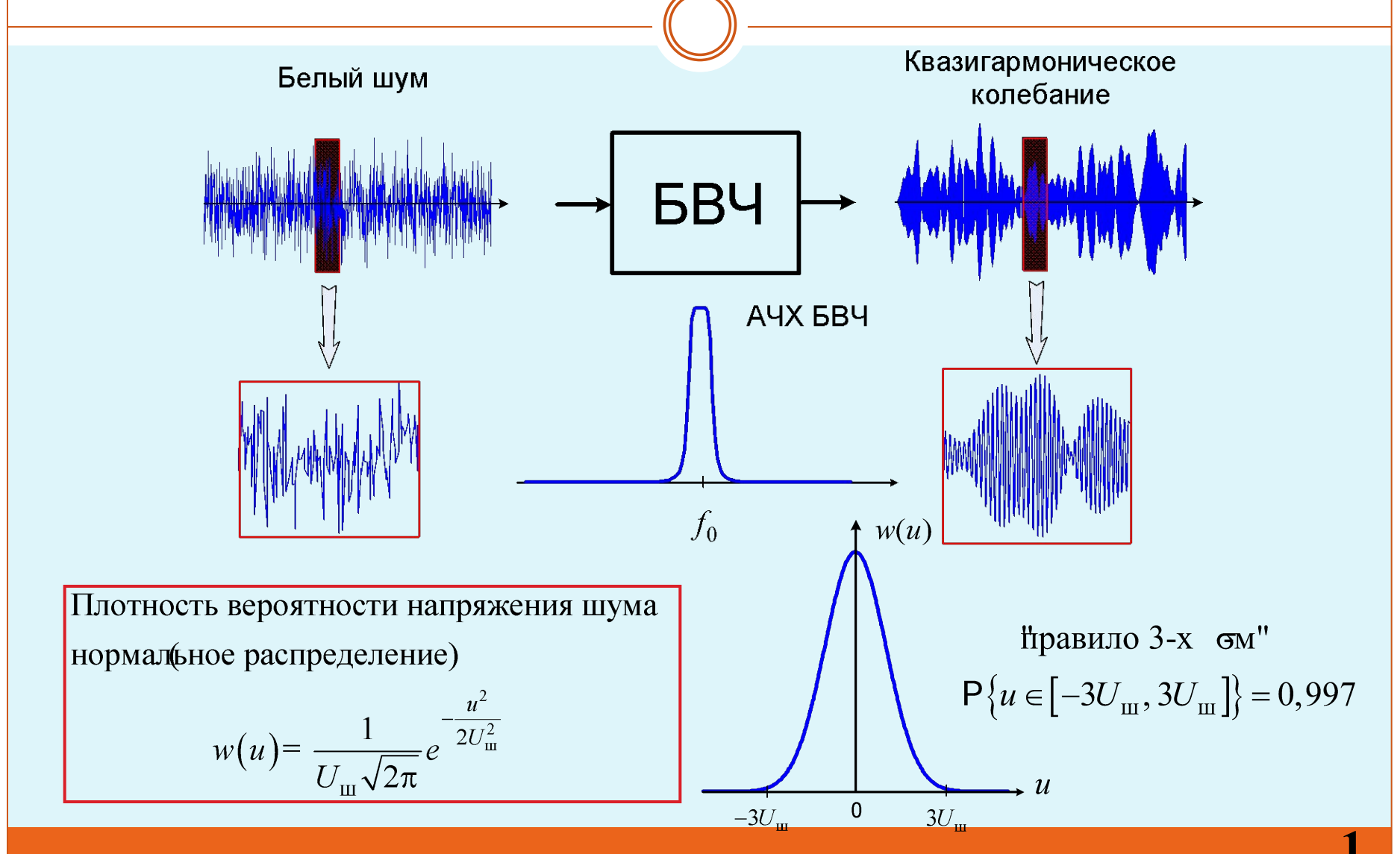
10.1. Статистические характеристики шума на выходе БВЧ



Автокорреляционная функция шума

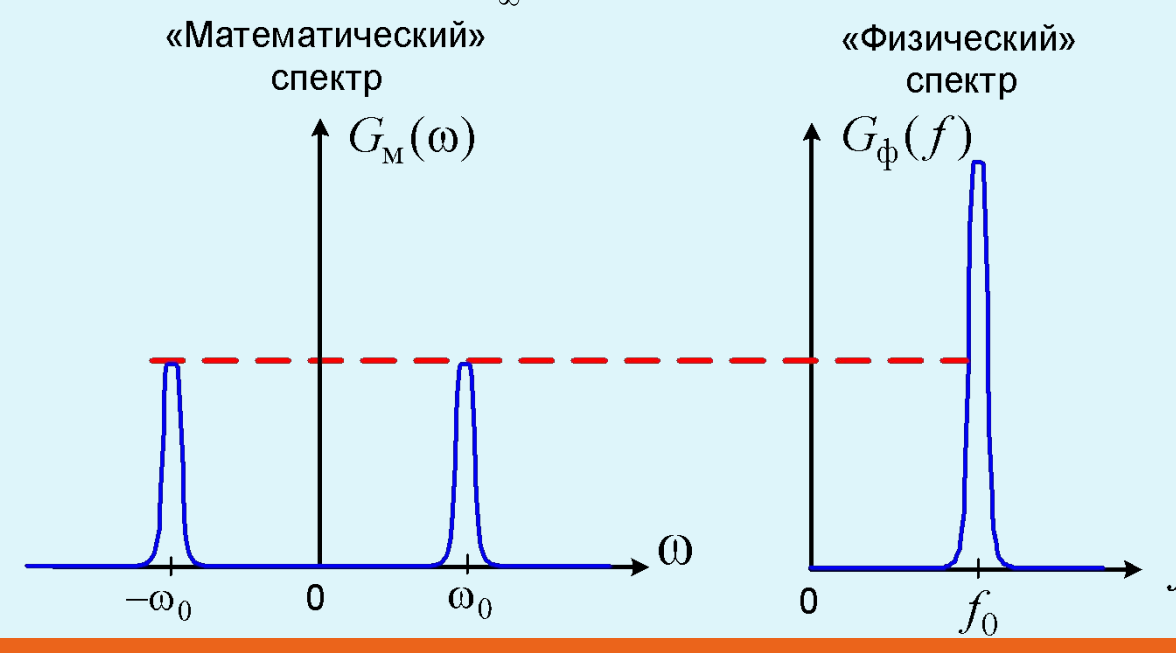


Теорема Винера-Хинчина

«Математический» энергетический спектр Автокорреляционная функция (АКФ)

$$G_{M}(\omega) = F \left\{ K(\tau) \right\} = \int_{-\infty}^{\infty} K(\tau) e^{-j\omega\tau} d\omega$$

$$G_{_{\mathrm{M}}}(\omega) = \mathsf{F} \left\{ K(\tau) \right\} = \int_{-\infty}^{\infty} K(\tau) e^{-j\omega\tau} d\omega \qquad K(\tau) = \mathsf{F}^{-1} \left\{ G_{_{\mathrm{M}}}(\omega) \right\} = \frac{1}{2\pi} \int_{-\infty}^{\infty} G_{_{\mathrm{M}}}(\omega) e^{j\omega\tau} d\omega$$



$$G_{\phi}(f) = 2G_{\text{\tiny M}}(2\pi f)$$

$$G_{_{\mathrm{M}}}(f) = 2G_{_{\mathrm{M}}}(2\pi f)$$

$$G_{_{\mathrm{M}}}(\omega) = \frac{1}{2}G_{_{\mathrm{\Phi}}}\left(\frac{|\omega|}{2\pi}\right)$$

Автокорреляционная функция шума



$$K(\tau) = \frac{1}{2\pi} \int_{-\infty}^{\infty} G_{\rm M}(\omega) e^{j\omega\tau} d\omega = 2 \cdot \frac{1}{2\pi} \int_{0}^{\infty} G_{\rm M}(\omega) \cos \omega \tau d\omega = \int_{0}^{\infty} G_{\phi}(f) \cos(2\pi f \tau) df$$

Приближённое выражение при симметричной АЧХ БВЧ

AYX
$$K(f) = K_0 \kappa(f)$$

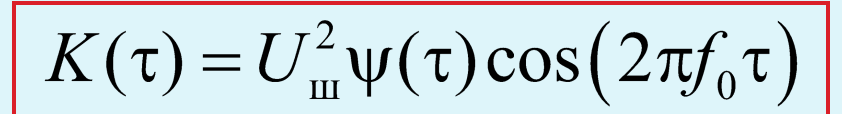
АЧХ $K(f) = K_0 \kappa(f)$ Энергетически $G_{\phi}(f) = G_0 K_0^2 \kappa^2(f)$ БВЧ: й спектр:

$$K(\tau) = G_{\text{BH}} K_0^2 \int_0^\infty \kappa^2 (f) \cos(2\pi f \tau) df = G_0 K_0^2 \int_{-f_0}^\infty \kappa^2 (F) \cos(2\pi f \tau + 2\pi F \tau) dF \approx$$

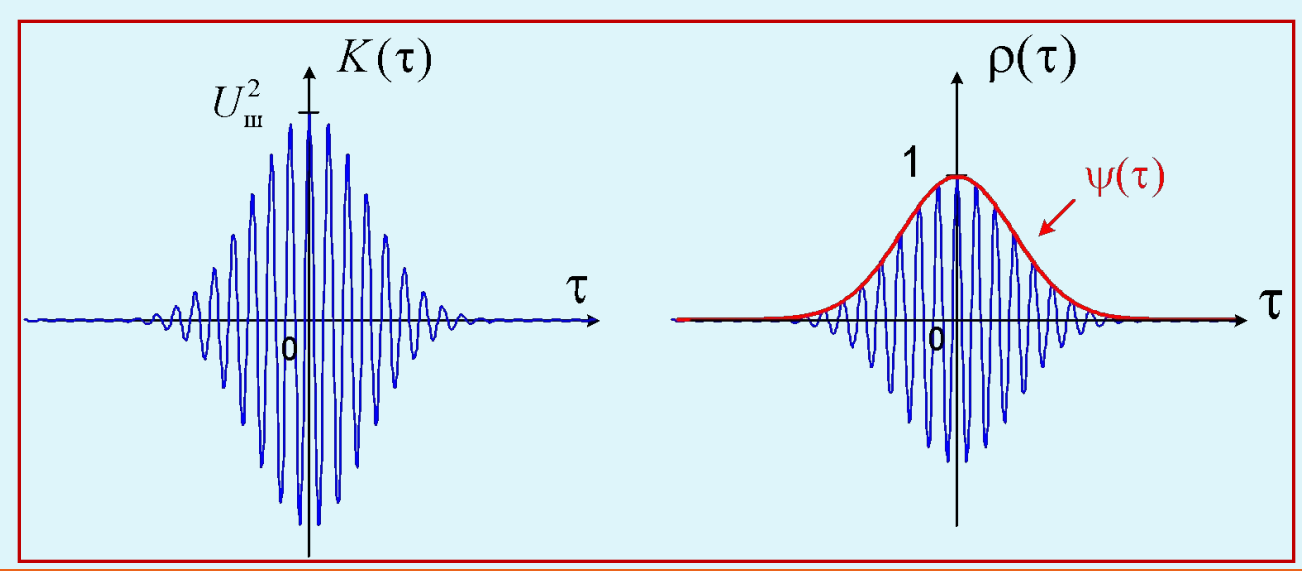
$$\approx G_{\rm BF}K_0^2 \left\{ \left[\int\limits_{-\infty}^{\infty} \kappa^2 \left(F \right) \cos \left(2\pi F \tau \right) dF_0 \right] \cos \left(2\pi f_{\rm HF} \tau \right) - \left[\int\limits_{-\infty}^{\infty} \kappa^2 \left(F \right) \sin \left(2\pi F \tau \right) dF_0 \right] \sin \left(2\pi f \tau \right) \right\} = 0$$

$$=2G_{\text{DH}}K_0^2\left[\int_0^\infty \kappa^2 (F)\cos(2\pi F\tau)dF\right]\cos(2\pi f\tau)$$

Автокорреляционная функция шума



 $U_{\rm m}^2 = K$ (Фистерскі ў Піцума на выходе БВЧ



10.2. Воздействие сигнала и шума на линейный АД

Статистические характеристики низкочастотных квадратурных составляющих шума

Шум - квазигармоническое
$$u(t) = U(t)\cos(\omega_0 t + \varphi(t)) =$$

$$=U(t)\cos \varphi(t)\cdot\cos \omega_{0}t$$
 — $U(t)\sin \varphi(t)\sin \omega_{0}t$ — $U^{\mathrm{c}}(t)\cdot\cos \omega_{t}t$ — $U^{\mathrm{s}}(t)\sin \omega_{t}t$

Свойства квадратурных составляющих шума:

нормальные сопучайные процессы с

нулевым математическим ожиданием:

$$\overline{U_{\rm m}^{\rm s}(t)} = \overline{U_{\rm m}^{\rm c}(t)} = 0$$

Дисперсия
$$\overline{\left[\mathbf{W}_{\mathbf{M}}^{\mathbf{s}} \ t \ \right]^2} = \overline{\left[\mathbf{W}_{\mathbf{M}}^{\mathbf{s}} \ t \ \right]^2} = U_{\mathbf{m}}^2$$

$$A)K\Phi \qquad K(\underline{U}_{\underline{U}_{\underline{u}}}) \ \tau \ = K(\underline{U}_{\underline{u}}) \ \tau \ = U_{\underline{u}} \psi) \ \tau \ \Rightarrow (K) \ \tau \ = K(\underline{U}_{\underline{u}}) \cos \quad \omega_0 \tau = K(\underline{U}_{\underline{u}}) \cos \quad \omega$$

В) совпадающие моменты времени $(U_1) t (U_2) t (0)$

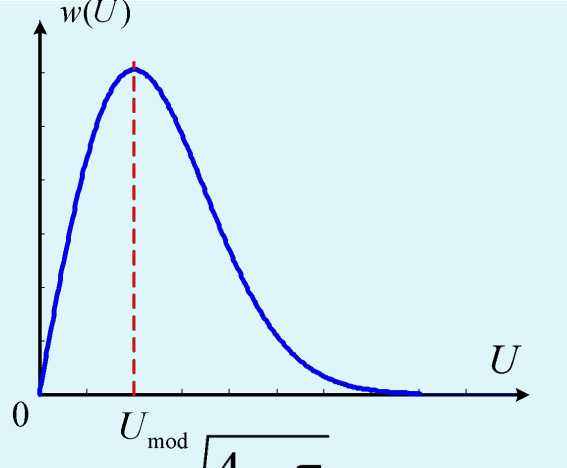
Фгибающая (U)
$$t = \sqrt{\left(U_{\text{nl}} t\right)^2 + \left(U_{\text{nl}} t\right)^2}$$

Статистические характеристики огибающей шума на выходе БВЧ

Распределение Релея
$$w(U) = \frac{U}{U_{_{\rm III}}^2} e^{-\frac{U^2}{2U_{_{\rm III}}^2}}, \quad U \ge 0$$

Мода: $U_{\text{mod}} = U$

Среднее значение:
$$\overline{U} = \sqrt{\frac{\pi}{2}} U_{\text{\tiny III}} \approx 1,25 U_{\text{\tiny III}} > U_{\text{\tiny mod}}$$



Дисперсия:
$$\sigma_U^2 = \frac{4-\pi}{2}U_{_{\rm III}}^2 \approx 0,43U_{_{\rm III}}^2$$
 СКО: $\sigma_U = \sqrt{\frac{4-\pi}{2}}U_{_{\rm III}} \approx 0,66U_{_{\rm III}}$

CKO:
$$\sigma_U = \sqrt{\frac{4-\pi}{2}}U_{\text{III}} \approx 0,66U_{\text{III}}$$

AKΦ:
$$K_U(\tau) = \overline{\left[U(t) - \overline{U(t)}\right]\left[U(t+\tau) - \overline{U(t+\tau)}\right]} = \sigma_U^2 \rho_U(\tau)$$

Нормированная огибающая АКФ:

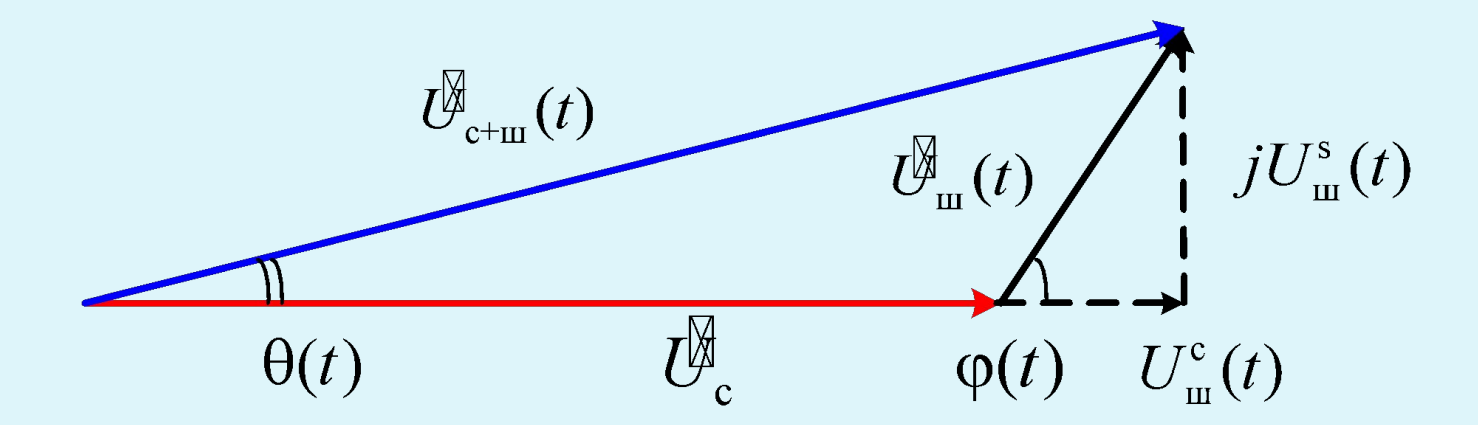
$$\rho_{U}(\tau) = \frac{\pi}{4 - \pi} \left[\left(\frac{1}{2} \right)^{2} \psi^{2}(\tau) + \left(\frac{1}{2 \cdot 4} \right)^{2} \psi^{4}(\tau) + \left(\frac{1 \cdot 3}{2 \cdot 4 \cdot 6} \right)^{2} \psi^{6}(\tau) + \dots \right] \approx$$

$$\approx 0.915 \psi^{2}(\tau) + 0.057 \psi^{4}(\tau) + 0.014 \psi^{6}(\tau) + \dots \approx \psi^{2}(\tau)$$

Статистические характеристики огибающей суммы сигнала и шума на выходе БВЧ

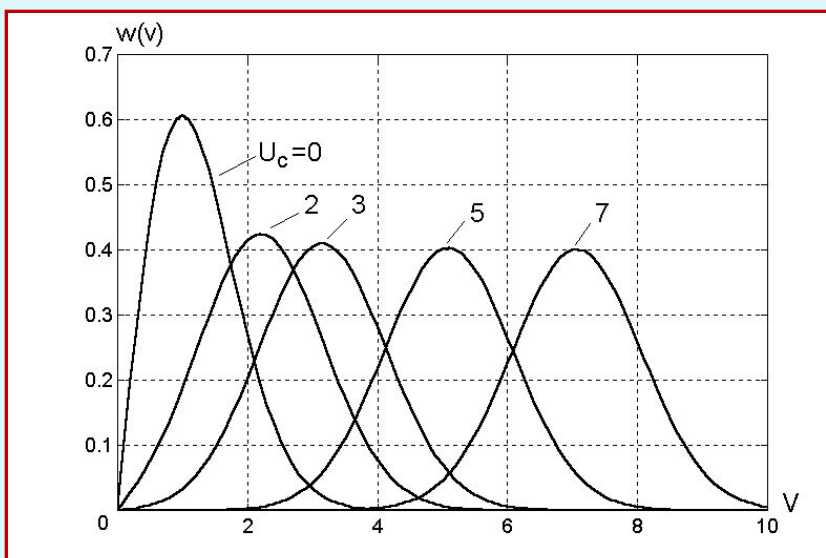
Сигнал $u_{\rm c}(t) = U_{\rm c} \cos \omega_0 t$, шум $u_{\rm m}(t) = U_{\rm m}^{\rm c}(t) \cos \omega_0 t - U_{\rm m}^{\rm s}(t) \sin \omega_0 t$ $u_{\rm c}(t) + u_{\rm m}(t) = \left[U_{\rm m}^{\rm c}(t) + U_{\rm c} \right] \cos \omega_0 t - U_{\rm m}^{\rm s}(t) \sin \omega_0 t = V(t) \cos \left[\omega_0 t + \theta(t) \right]$

Огибающая c+ш
$$V(t) = \sqrt{\left[U_{\rm c} + U_{\rm m}^{\rm c}(t)\right]^2 + U_{\rm m}^{\rm s}(t)^2}$$



Статистические характеристики огибающей суммы сигнала и шума на выходе БВЧ

Распределение Райса
$$w(V) = \frac{V}{U_{_{\text{III}}}^2} I_0 \left(\frac{VU_{_{\text{C}}}}{U_{_{\text{III}}}^2} \right) e^{-\frac{V^2 + U_{_{\text{C}}}^2}{2U_{_{\text{III}}}^2}}, \quad V \ge 0$$



Сигнал отсутствует $U_c = 0: I_0(0) = 1 \implies$

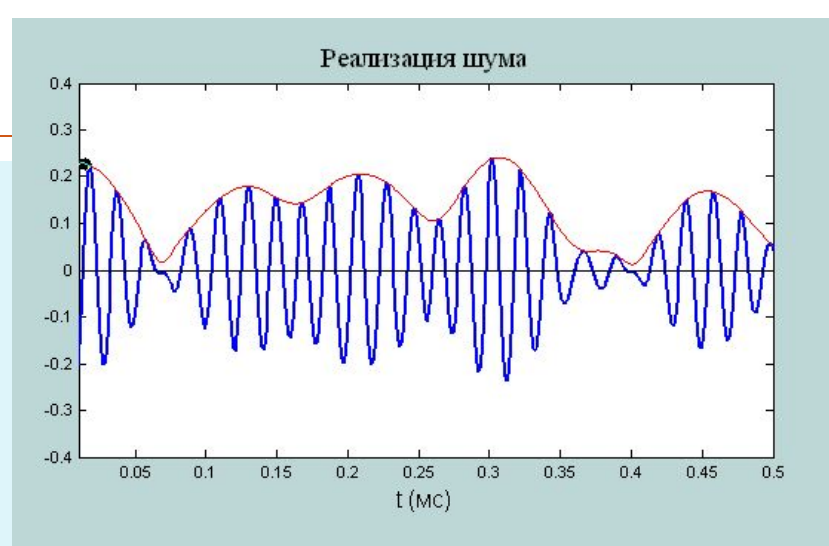
$$w(V) = \frac{V}{U_{\text{m}}^2} e^{-\frac{V^2}{2U_{\text{m}}^2}}$$

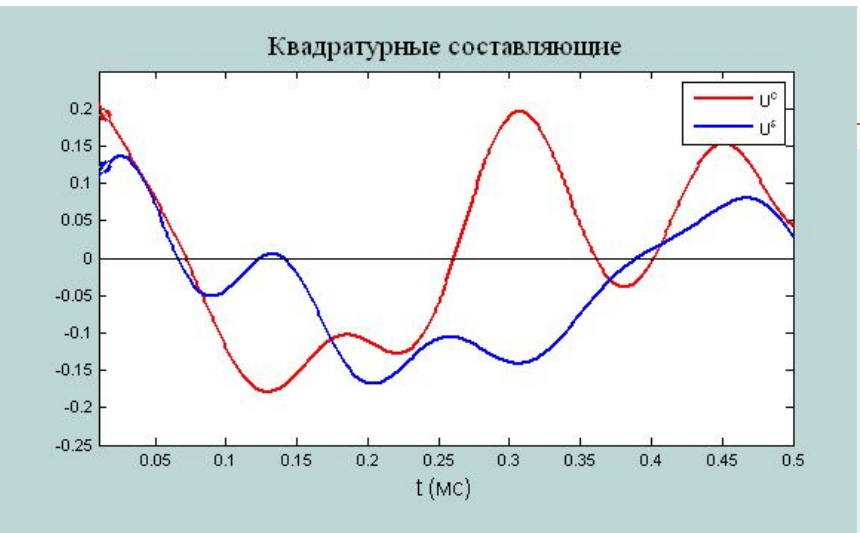
– распределение Релея

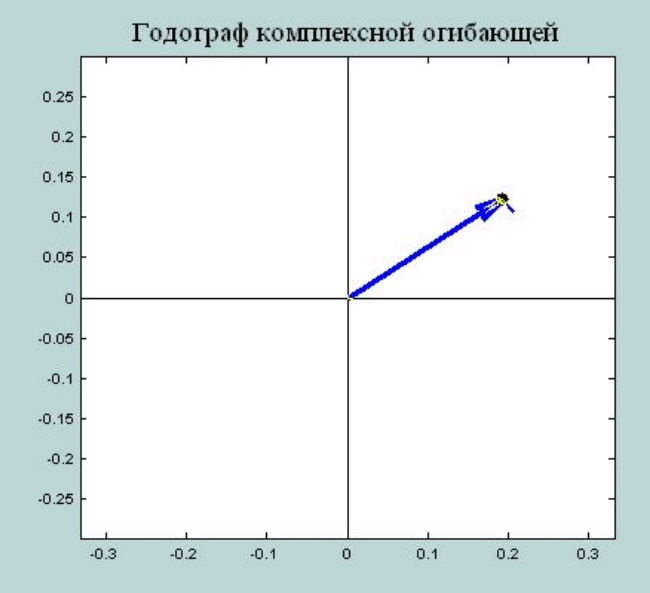
Отношение сигнал-шум
$$a = \frac{U_c}{U_m} >> 1$$
: $I_0(x) \approx \frac{e^x}{\sqrt{2\pi x}} \implies$

$$w$$
(Но) мальное распределение $U_{_{\rm III}}\sqrt{2\pi}$

Шум на выходе БВЧ $(U_c=0)$

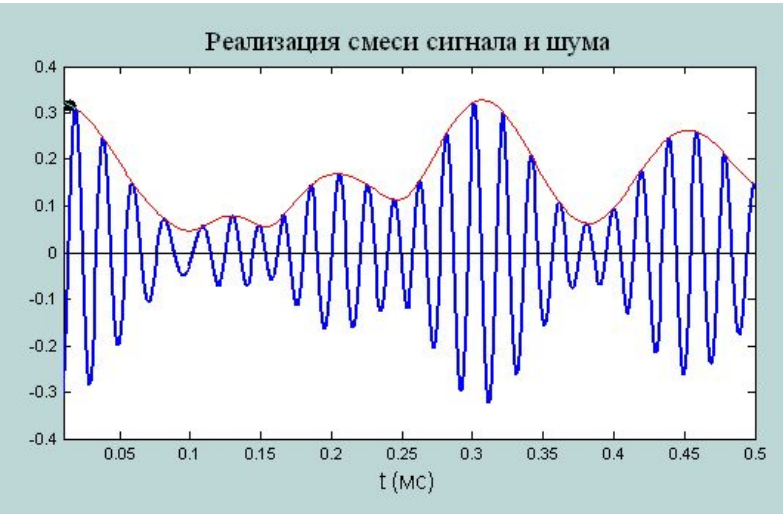


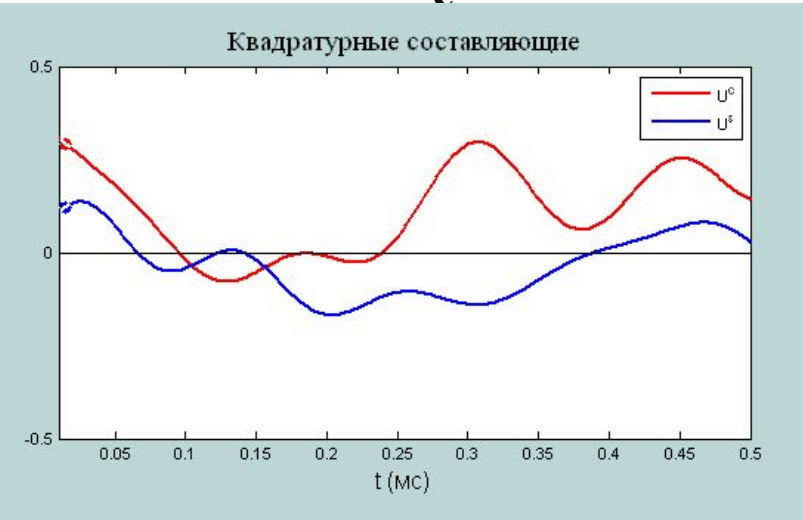


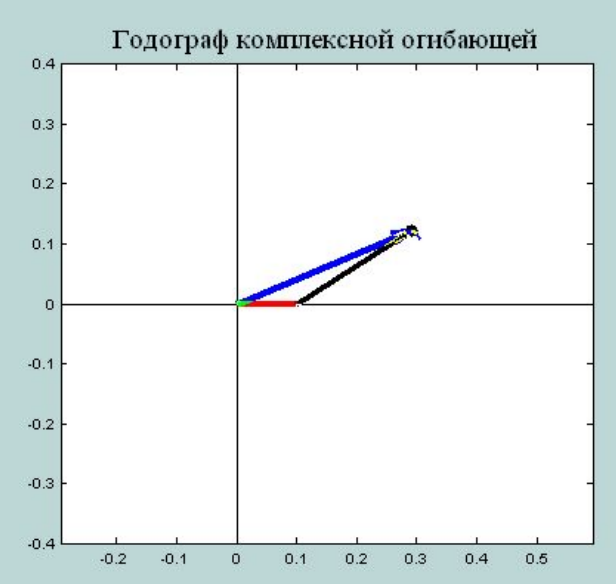


$$U_{_{\rm III}} = 0,1$$

Сигнал + шум на выходе БВЧ (U_{c} =0,1)

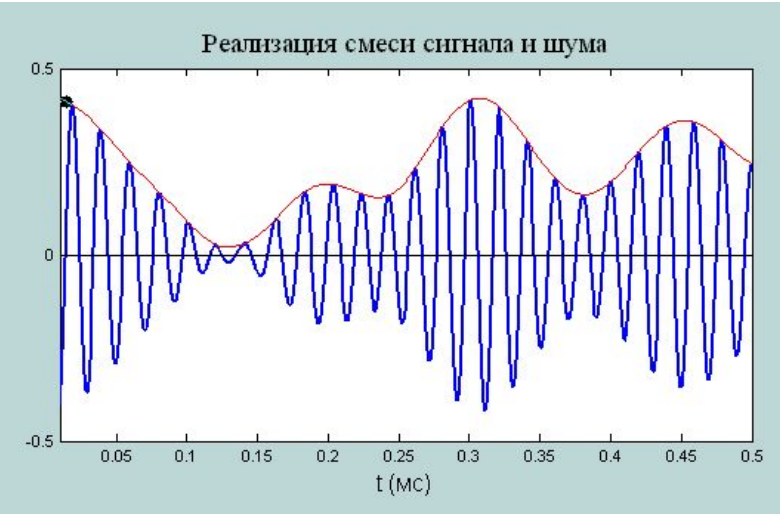


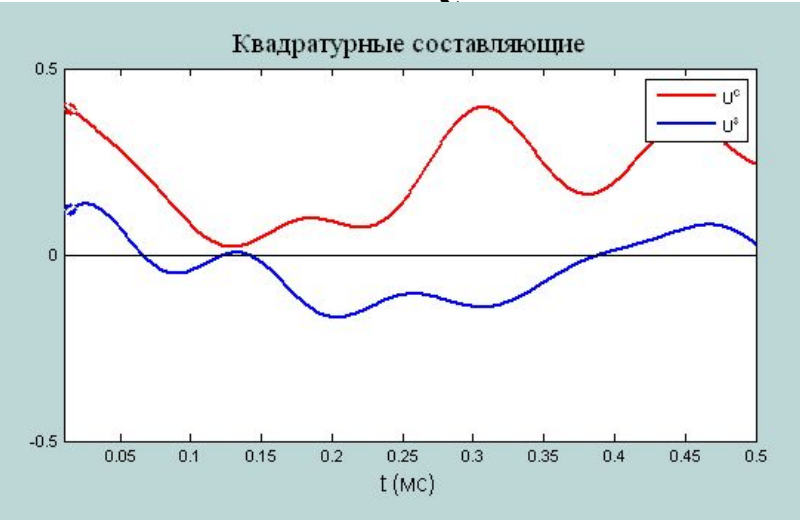


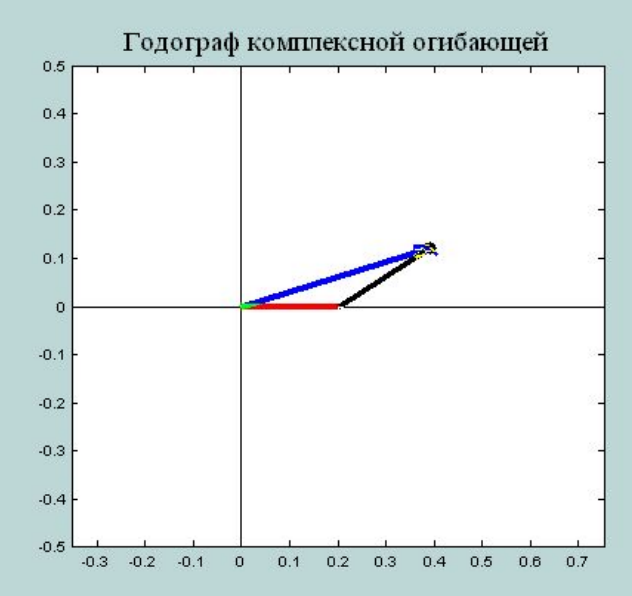


$$U_{_{\rm III}} = 0,1$$

Сигнал + шум на выходе БВЧ (U_c =0,2)





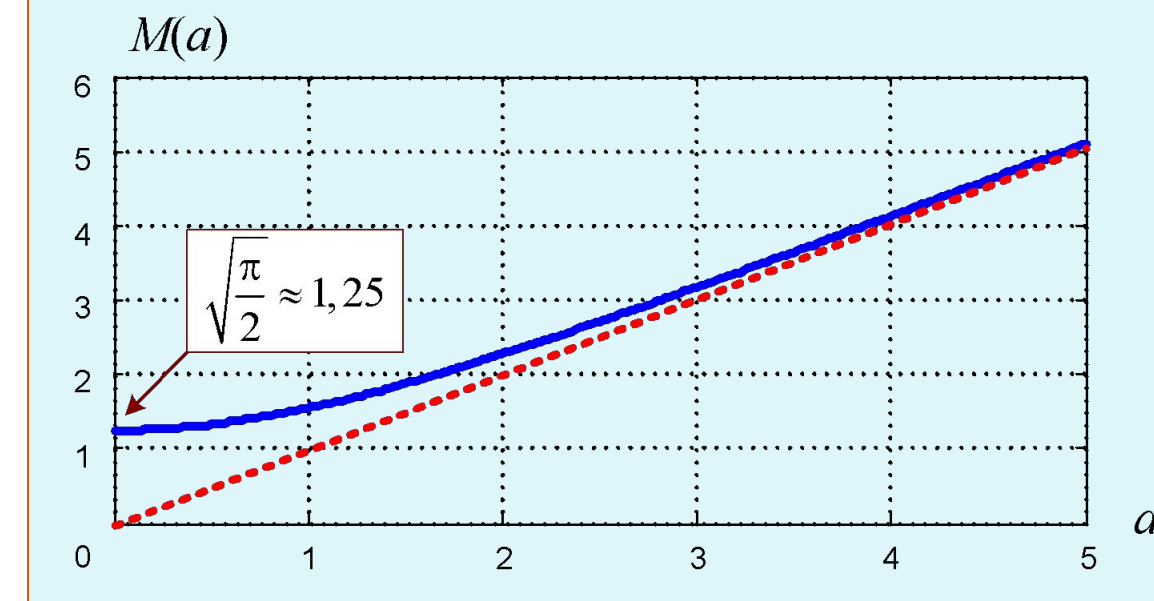


$$U_{_{\rm III}}$$
=0,1

Математическое ожидание (среднее значение) огибающей



$$\overline{M} = \int_{0}^{\infty} Vw_{\text{Paĭica}} Vw_{\text{Paica}} Vw_{\text{Paica}} Vw_{\text{Paica}} Vw_{\text{Paica}} Vw_{\text{Paica}} Vw_{\text{Paica}} Vw_{\text{Paica}} Vw_{\text{Paica}} Vw_{\text{Paica}} Vw_{\text{Paica$$



При
$$a = 0$$
: $M(a) = \sqrt{\frac{\pi}{2}} \approx 1,25$,

при
$$a << 1$$
: $M(a) \approx \sqrt{\frac{\pi}{2}} \left(1 + \frac{a^2}{4} \right)$,

при
$$a > 1$$
: $M(a) \approx \sqrt{a^2 + 1}$,

при
$$a >> 1$$
: $M(a) \approx a$

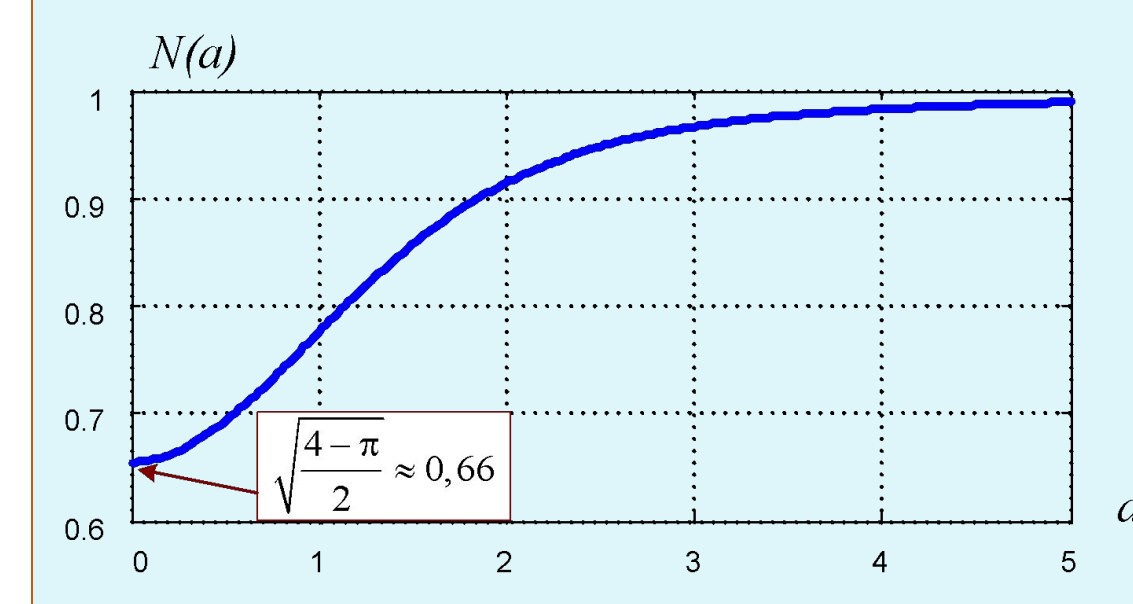
Среднее значение напряжения на выходе АД:

$$\overline{M}_{_{\Pi}} \notin K_{_{\Pi}} \overline{V} = K_{_{\Pi}} U_{_{\Pi I}} \quad ()$$

Среднеквадратичное отклонение (эффективное значение случайной составляющей)

$$\sigma_V = \sqrt{\int_0^\infty (\text{Me-}\overline{V()}^2) w_{\text{Pairca}} (V) dV} = U(N)(a), \qquad N \quad a = \sqrt{+a^2 - M^2} \quad a$$

$$N a = \sqrt{+a^2 - M^2 a}$$



При
$$a = 0$$
: $N(a) = \sqrt{\frac{4-\pi}{2}} \approx 0,66$,

при
$$a >> 1$$
: $N(a) \approx 1$

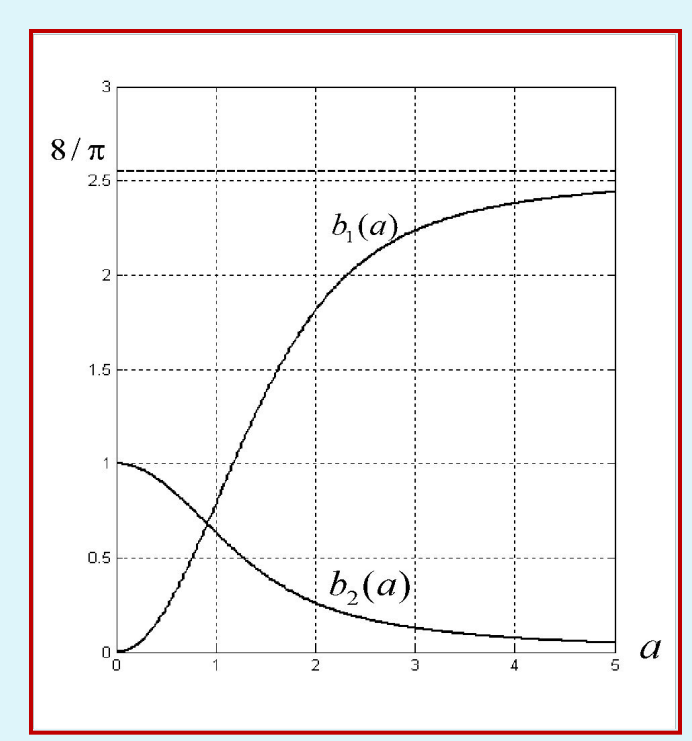
Эффективное напряжение шума на выходе АД: $\sigma_{U_{\pi}} = K_{\pi} \sigma_{V} = K_{\pi} U_{\text{m}} N(a)$

Автокорреляционная функция огибающей



$$K_V(\tau) \approx \frac{4-\pi}{2} U_{\text{III}}^2 \Big[b_1(a) \cdot \psi(\tau) + b_2(a) \cdot \psi^2(\tau) \Big] = K_{V1}(\tau) + K_{V2}(\tau),$$

$$K_{V_{\text{III}}}(\tau) = \frac{4-\pi}{2}U^2b(q)\cdot\psi(\tau), \quad K_{V_{\text{III}}}(\tau) = \frac{4-\pi}{2}U^2b(a)\cdot\psi^2(\tau),$$



где
$$b_1(a) = \left\{ ae^{-\frac{a^2}{4}} \left[I_0 \left(\frac{a^2}{4} \right) + I_1 \left(\frac{a^2}{4} \right) \right] \right\}^2$$
,

$$b_2(a) = \left[e^{-\frac{a^2}{4}}I_0\left(\frac{a^2}{4}\right)\right]^2 + \left[e^{-\frac{a^2}{4}}I_1\left(\frac{a^2}{4}\right)\right]^2$$

При
$$a = 0$$
: $b_1(a) = 0$, $b_2(a) = 1$,

при
$$a >> 1$$
: $b_1(a) \approx \frac{8}{\pi} \approx 2,55$, $b_2(a) \approx 0$

Энергетический спектр огибающей



«Математический» спектр огибающей:

$$G_{V_{M}}(\omega) = F\{K_{V}(\tau)\} \approx F\{K_{V1}(\tau)\} + F\{K_{V2}(\tau)\} = G_{V1_{M}}(\omega) + G_{V2_{M}}(\omega)$$

$$G_{V_{M}}(\omega) = F\left\{\frac{4 - \pi}{2} b(a) \cdot U^{2}_{V_{U_{m}^{c}}(\tau)}\right\} = \frac{4 - \pi}{2} b(a) F\left\{K_{U_{m}^{c}}(\tau)\right\} = \frac{4 - \pi}{2} b(a)G_{U_{m}^{c}M}(\omega)$$

$$= \frac{4 - \pi}{2U_{\scriptscriptstyle \mathrm{III}}^2} b_2(a) \Big[G_{U_{\scriptscriptstyle \mathrm{III}}^{\scriptscriptstyle \mathrm{c}} \mathsf{M}}(\omega) * G_{U_{\scriptscriptstyle \mathrm{III}}^{\scriptscriptstyle \mathrm{c}} \mathsf{M}}(\omega) \Big]$$

«Физический» спектр огибающей: $G_V(f) = 2G_{V_{\mathrm{M}}}(2\pi f) = G_{V_{\mathrm{1}}}(f) + G_{V_{\mathrm{2}}}(f)$

Энергетический спектр в случае прямоугольной АЧХ БВЧ



$$G_{V_{\text{th}}}(f) = b_1(a)(4-\pi)G_0K_0^2, \quad f \in [0, \Pi/2]$$

$$G_{Val}(f) = b_2(a)(4-\pi)G_0K_0^2\frac{\Pi_{III}-f}{\Pi_{III}}, \quad f \in [0,\Pi]$$

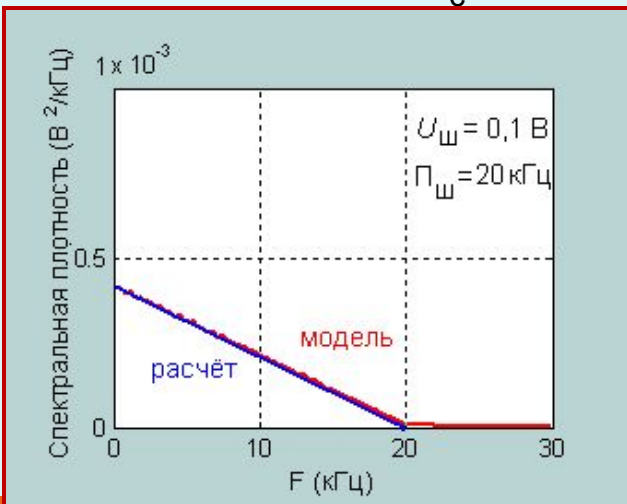
 G_0 – спектральная плотность белого шума на входе БВЧ

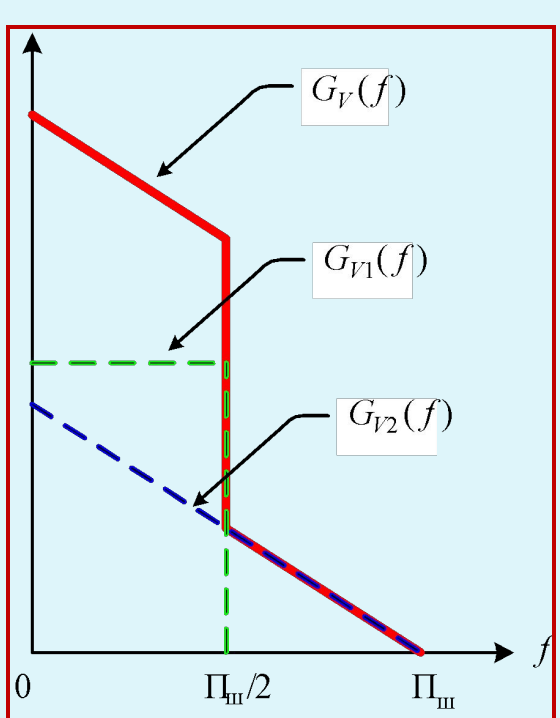
 K_0 – коэффициент усиления БВЧ по напряжению

П_{...} – шумовая полоса пропускания БВЧ

Энергетический спектр огибающей шума ($U_{\rm c}$ =0)

$$G_{U}(f) = (4 - \pi)G_{0}K_{0}^{2}\frac{\Pi_{III} - f}{\Pi_{III}},$$
 $f \in [0, \Pi_{III}]$





Отношение сигнал-шум на выходе линейного АД

Сигнал на выходе АД – приращение постоянной составляющей $\Delta U_{\scriptscriptstyle \Pi}$ выходного напряжения, обусловленное модуляцией сигнала. **Шум** – случайная составляющая выходного напряжения.

Детекторная характеристика при наличии шума – зависимость $\Delta U_{_{\pi}}(U_{_{c}})$

$$\overline{\Delta U_{_{\Pi}}} = K_{_{\Pi}} \left(\overline{V} - \overline{U} \right) =$$

$$= K_{_{\Pi}} \left(M(a) U_{_{\text{III}}} - \sqrt{\frac{\pi}{2}} U_{_{\text{III}}} \right)$$

Условия расчёт отношения сигнал-шум на выходе АД:

1)на входе АД: АМ сигнал с коэфф. модуляции т;

$$=K_{_{\rm I\! I}} \left(M(a) U_{_{
m I\! I}} - \sqrt{\frac{\pi}{2}} \, U_{_{
m I\! I}} \right)$$
 2)отношение сигнал-шум на входе АД:

$$q_{\text{вых}} = \frac{P_{\text{M--гарм.}}}{P_{\text{изма-вых}}}$$

$$\overline{\Delta U_{_{
m A}}}$$
 $U_{
m c}$

$$a << 1: q_{\text{BMX}} \approx m^2 \frac{\pi}{2 \cdot (4 - \pi)} \cdot q_{\text{BX}}^2 \approx 1,8m^2 \cdot q_{\text{BX}}^2$$

$$a \gg 1$$
: $q_{\text{вых}} \approx m^2 q_{\text{вх}}$

Вывод формул при 100%-й АМ (m=1)



a << 1

$$\overline{\Delta U_{_{\mathrm{I}}}} = K_{_{\mathrm{I}}} U_{_{\mathrm{II}}} \left(M(a) - \sqrt{\frac{\pi}{2}} \right) \approx$$

Амплитуда 1-й гармоники:

$$\overline{\Delta U_{\rm m(1)}} \approx \frac{K_{\rm m} U_{\rm 0}^2}{2U_{\rm m}} \sqrt{\frac{\pi}{2}}$$

СКО шума:

$$\sigma_{U_{\pi}} = K_{\pi} U_{\text{III}} N(a) \approx$$

$$\approx K_{\pi} U_{\text{III}} \sqrt{\frac{4 - \pi}{2}}$$

$$\begin{cases} \Rightarrow q_{\text{вых}} = \frac{\overline{\Delta U_{\text{д(1)}}}^{2}}{2\sigma_{U_{\text{п}}}^{2}} \approx \frac{\left(\frac{K_{\text{д}}U_{0}^{2}}{2U_{\text{III}}}\right)^{2} \frac{\pi}{2}}{2\left(K_{\text{д}}U_{\text{III}}\right)^{2} \frac{4-\pi}{2}} = \\ = \frac{\pi}{2(4-\pi)} \left(\frac{U_{0}^{2}}{2U_{\text{III}}^{2}}\right)^{2} \approx 1,8 q_{\text{BX}}^{2} \end{cases}$$

$a \gg 1$

$$\overline{\Delta U_{\scriptscriptstyle \Pi}} \approx K_{\scriptscriptstyle \Pi} U_{\scriptscriptstyle \mathrm{III}} \left(a - \sqrt{\frac{\pi}{2}} \right) \approx$$

$$\approx K_{\scriptscriptstyle \Pi} U_{\scriptscriptstyle \mathrm{III}} a = K_{\scriptscriptstyle \Pi} U_{\scriptscriptstyle \mathrm{C}}$$

Амплитуда 1-й гармоники:

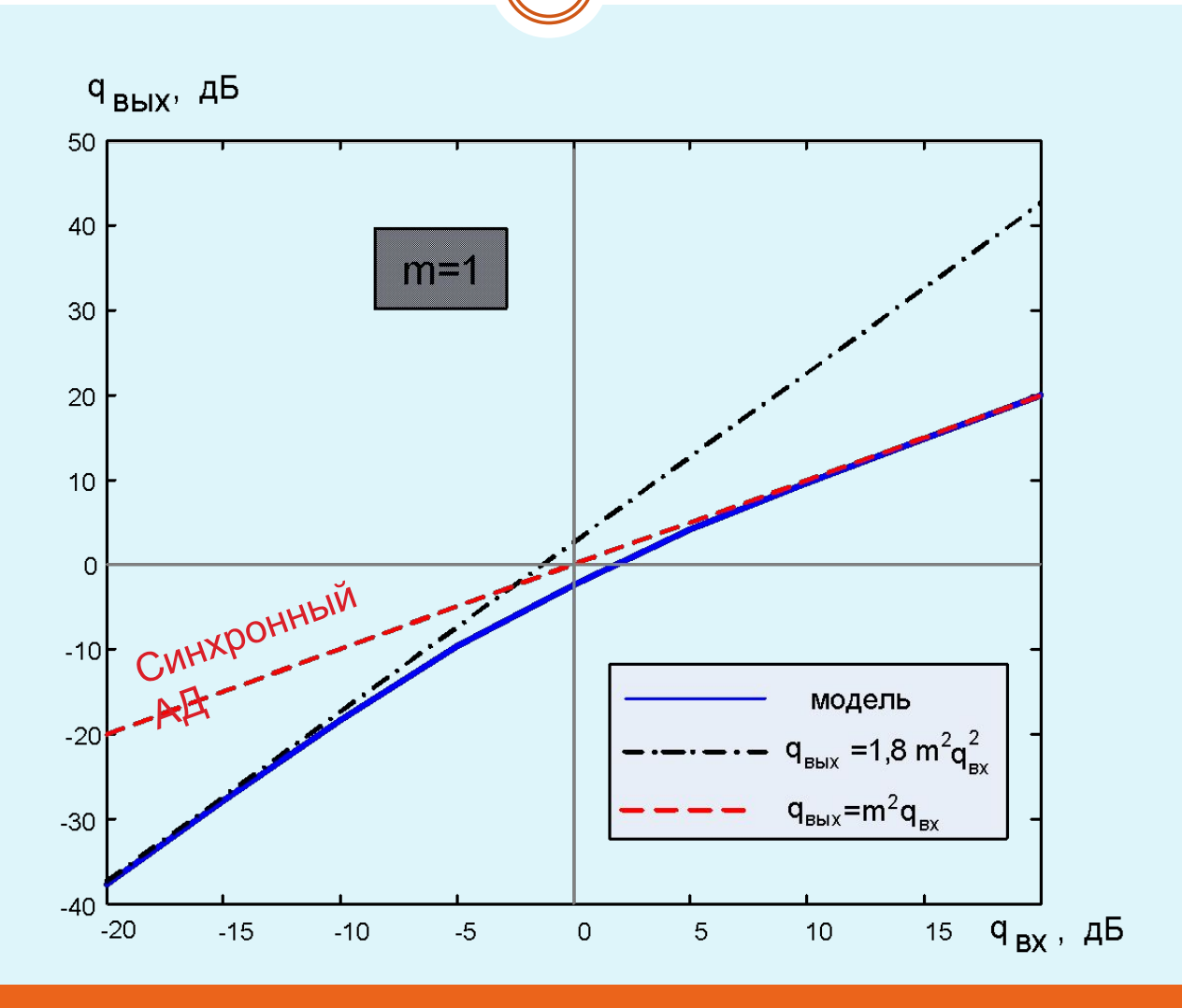
$$\overline{\Delta U_{\text{\tiny d(1)}}} pprox K_{\text{\tiny d}} U_{0}$$

СКО шума:

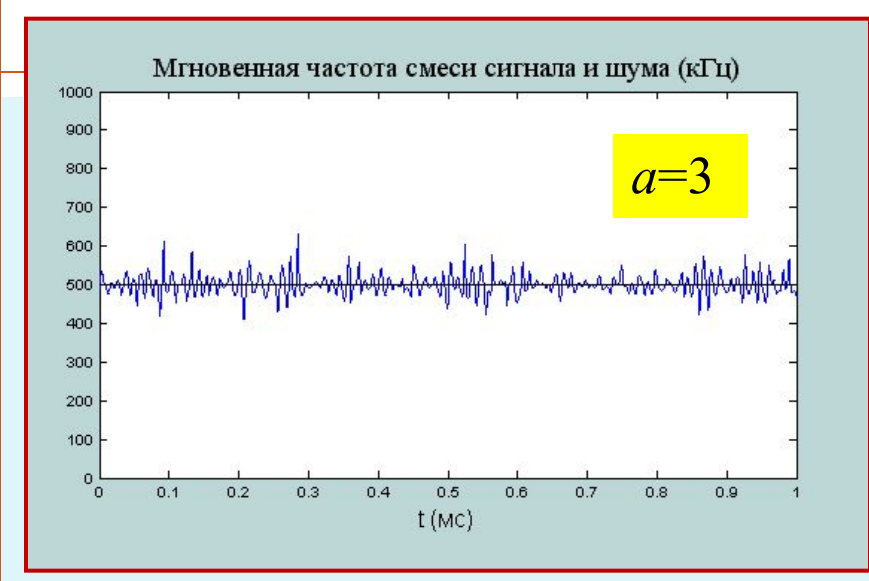
$$\sigma_{U_{\pi}} = K_{\pi} U_{\mathfrak{m}} N(a) \approx K_{\pi} U_{\mathfrak{m}}$$

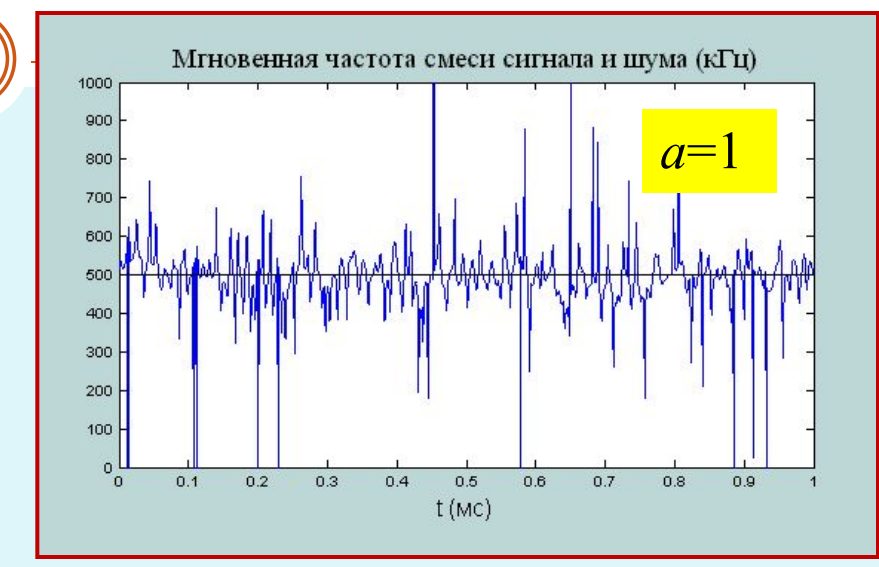
$$\Rightarrow q_{\scriptscriptstyle \mathrm{BMX}} = \frac{\overline{\Delta U_{\scriptscriptstyle \mathrm{д(1)}}}^2}{2\sigma_{\scriptscriptstyle U_{\scriptscriptstyle \mathrm{II}}}^2} \approx \frac{U_{\scriptscriptstyle 0}^2}{2U_{\scriptscriptstyle \mathrm{III}}^2} = q_{\scriptscriptstyle \mathrm{BX}}$$

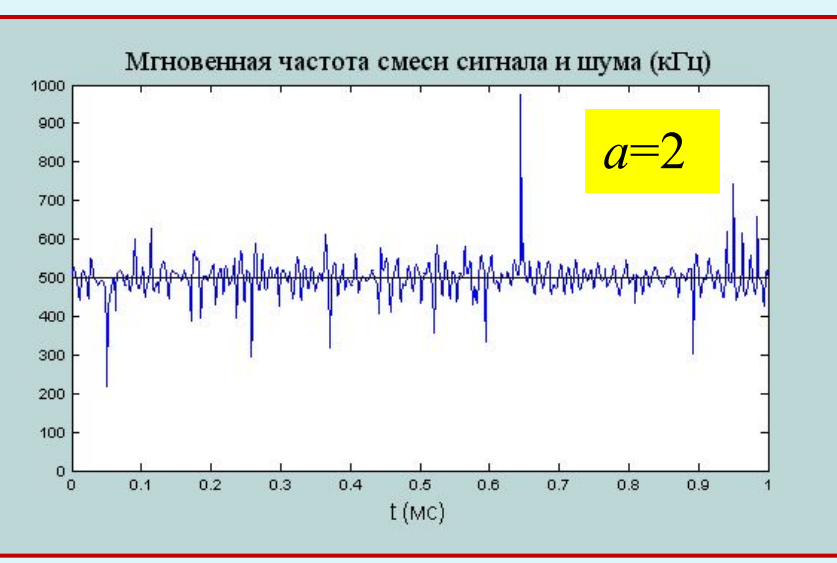
ависимость $q_{_{\text{вых.дБ}}}(q_{_{\text{вх.дБ}}})$

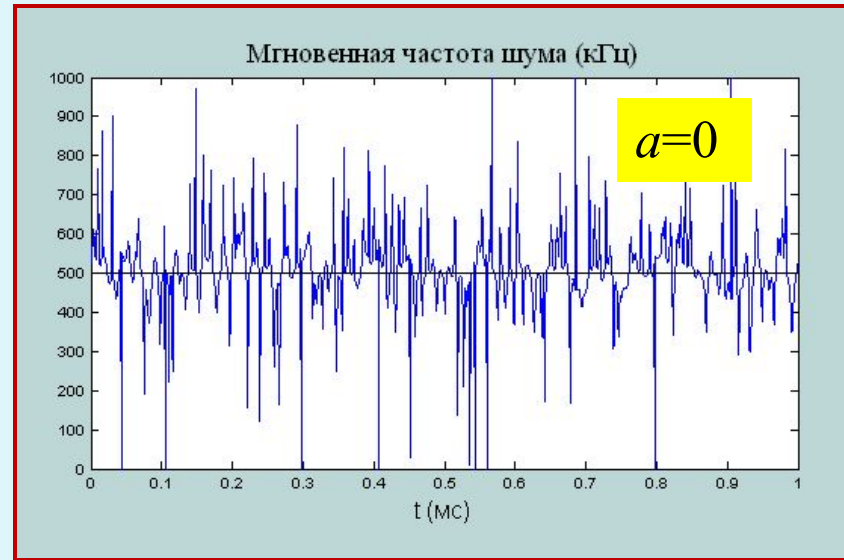


10.3. Воздействие сигнала и шума на ЧД









Статистические характеристики мгновенной частоты смеси сигнала и шума



Сигнал + шум
$$u_{c}(t) + u_{m}(t) = U_{0}\cos\omega_{0}t + U(t)\cos(\omega_{0}t + \varphi(t)) = V(t)\cos(\omega_{0}t + \theta(t))$$

: Мгновенная круговая $\omega(t) = \omega_0 + \frac{d\theta(t)}{dt}$

частота:

Плотность вероятности мгновенной частоты шума:

$$w(\mathbf{w}) = \frac{-\psi_0''}{2\left[\left(\omega - \omega_0\right)^2 - \psi_0''\right]^{3/2}}, \qquad \psi_0'' = \frac{d^2\psi(\tau)}{d\tau^2}\bigg|_{\tau}$$

$$\left. \psi_0'' = \frac{d^2 \psi(\tau)}{d\tau^2} \right|_{\tau=0}$$

Математическое

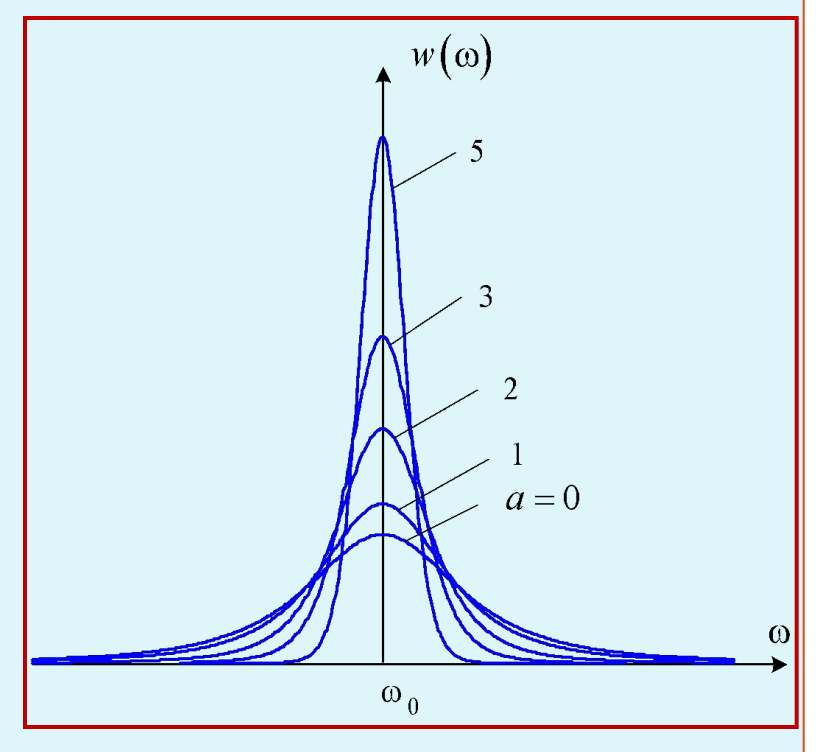
$$\overline{\omega} = \omega_0$$

ожидание:

CK
$$\sigma_{\omega} = \sqrt{\left(\omega - \omega_0\right)^2} \rightarrow \infty$$

Среднее абсолютное отклонение:

$$S_{\omega} = |\omega - \omega_0| = \sqrt{-\psi_0''}$$



АКФ и энергетический спектр мгновенной частоты при а >> 1

$$\theta(t) = \operatorname{arctg} \frac{U_{\mathrm{m}}^{S}(t)}{U_{\mathrm{c}} + U_{\mathrm{m}}^{C}(t)} \approx \operatorname{arctg} \frac{U_{\mathrm{m}}^{S}(t)}{U_{\mathrm{c}}} \approx \frac{U_{\mathrm{m}}^{S}(t)}{U_{\mathrm{c}}}$$

$$\Delta\omega(t) = \frac{d\theta(t)}{dt} \approx \frac{1}{U_{\mathrm{m}}} \frac{dU_{\mathrm{m}}^{S}(t)}{dt}$$

$$\theta(t)$$

$$\theta(t)$$

$$\theta(t)$$

$$\theta(t)$$

АКФ производной процесса
$$X(t)$$
: $K_{X'}(\tau) = -K''_X(\tau)$ \Rightarrow $K_{\Delta\omega}(\tau) = -K''_{\theta}(\tau) \approx -\frac{1}{U_c^2} K''_{U_{\pi}}(\tau)$

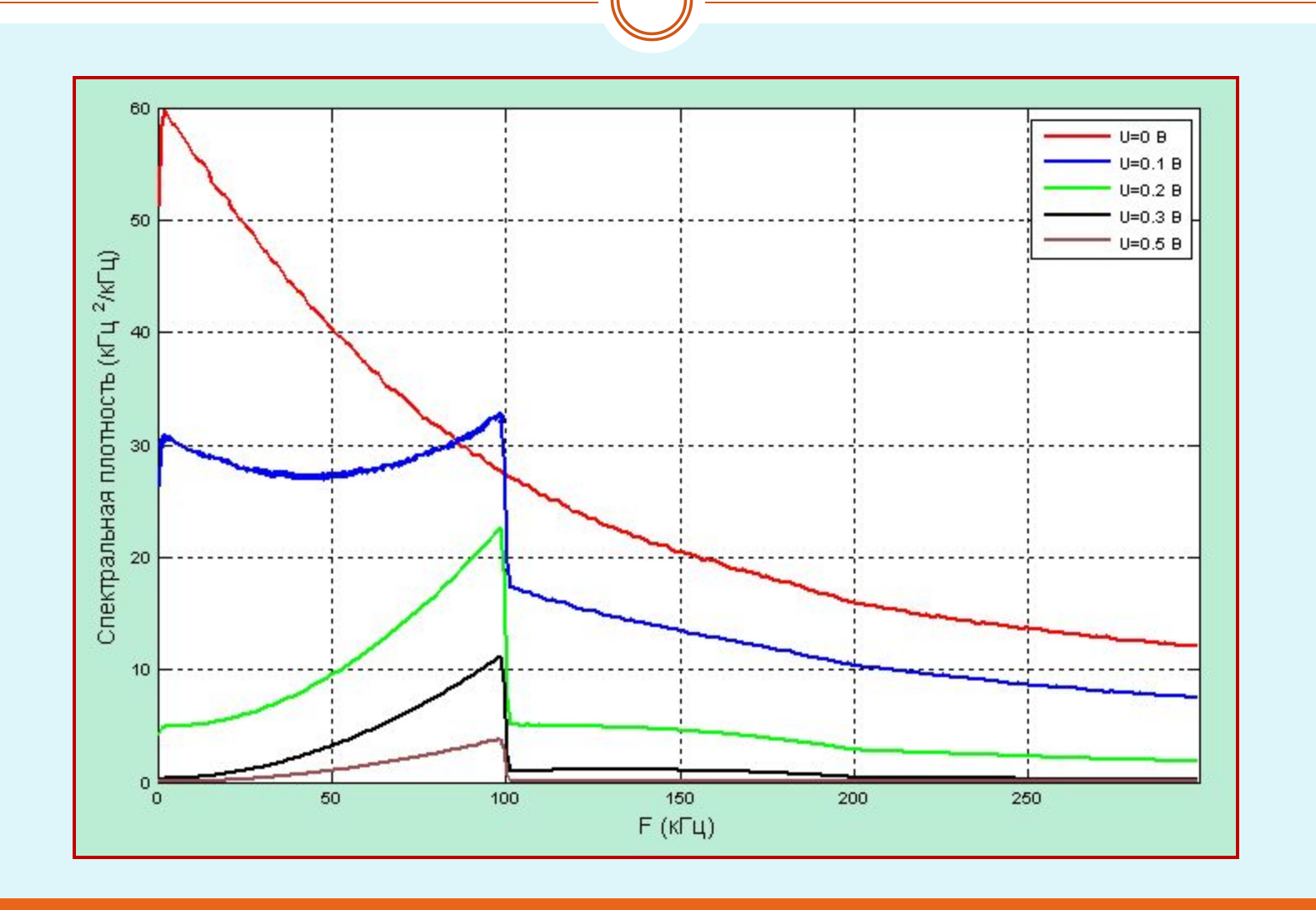
Математический" спектр круговой частоты деорема Винера-Хинчина):

$$G_{\Delta_{\text{OM}}}(\Omega) = \mathbb{F}\left\{K_{\Delta_{\text{O}}}(\tau)\right\} \approx -\frac{1}{U_{\text{c}}^2} \mathbb{F}\left\{K_{U_{\text{iii}}^S}''(\tau)\right\} = -\frac{1}{U_{\text{c}}^2} \left(j\Omega\right)^2 \mathbb{F}\left\{K_{U_{\text{iii}}^S}(\tau)\right\} = \frac{\Omega^2}{U_{\text{c}}^2} G_{U_{\text{iii}}^S \text{M}}(\Omega)$$

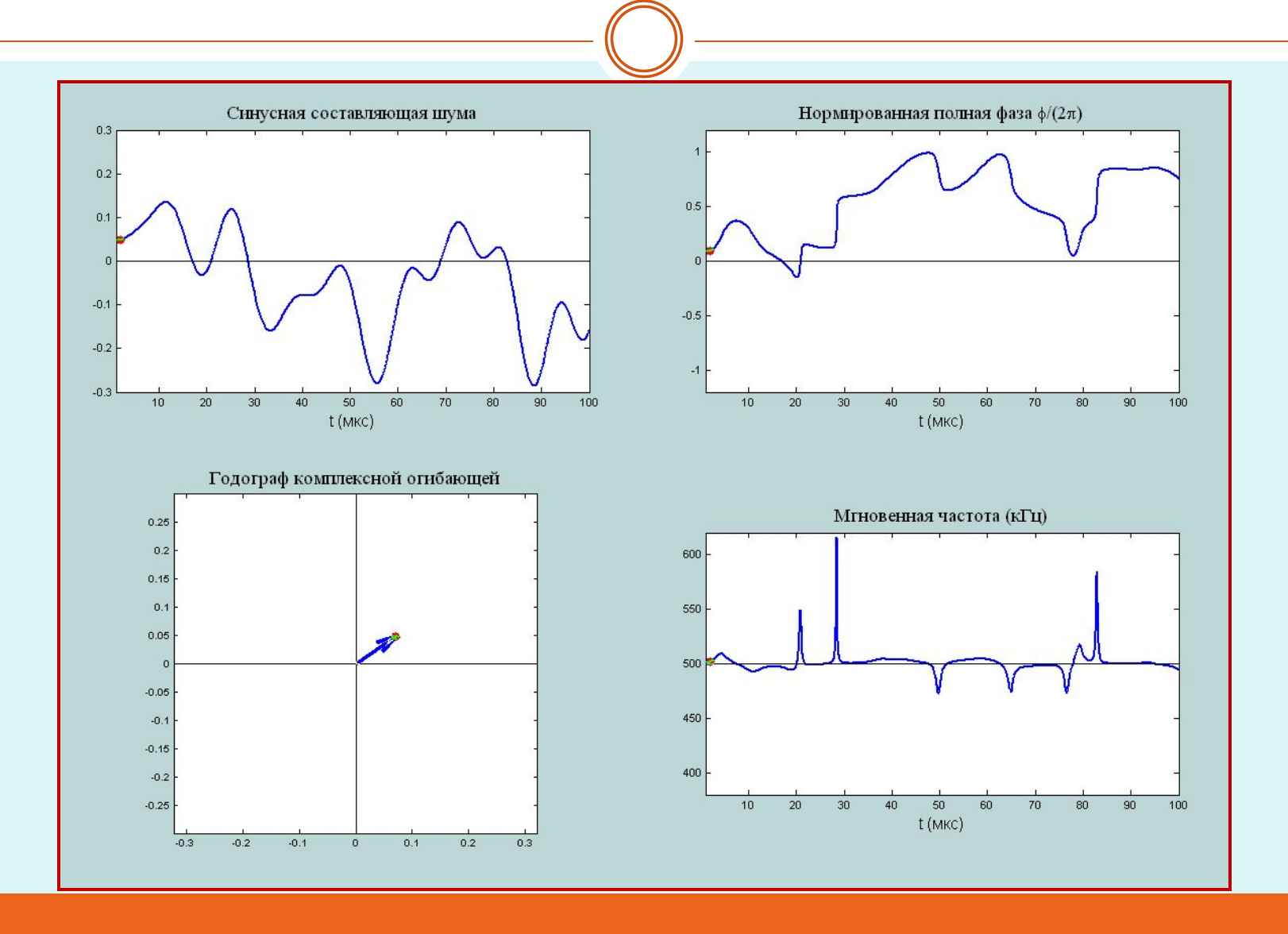
Физический" спектр частоты: т.к. $F = \frac{\Omega}{2\pi}$ то $G_{\Delta f}$ $F = 2G_{\Delta f_{M}}(2\pi F) =$

$$= 2\left(\frac{1}{2\pi}\right)^{2}G_{\Delta \omega_{\mathrm{M}}}(2\pi F) \approx 2\left(\frac{1}{2\pi}\right)^{2}\frac{(2\pi F)^{2}}{U_{\mathrm{c}}^{2}}G_{U_{\mathrm{m}}^{S}\mathrm{M}}(2\pi F) = \frac{F^{2}}{U_{\mathrm{c}}^{2}} \cdot 2G_{U_{\mathrm{m}}^{S}\mathrm{M}}(2\pi F) = \frac{F^{2}}{U_{\mathrm{c}}^{2}}G_{U_{\mathrm{m}}^{S}\mathrm{M}}(F)$$

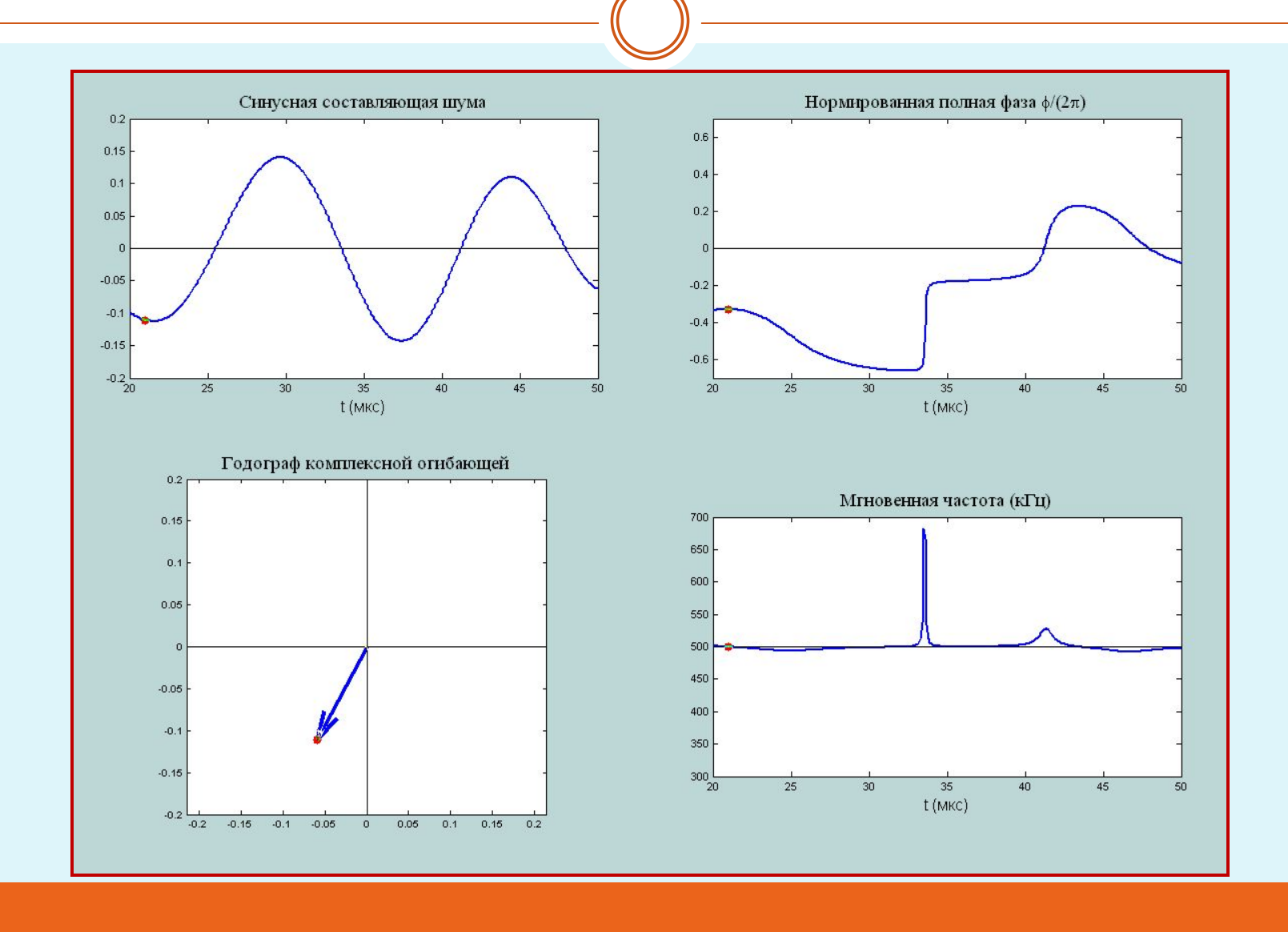
Энергетический спектр мгновенной частоты смеси сигнала и шума (прямоугольная АЧХ БВЧ)



Аномальные выбросы мгновенной частоты шума



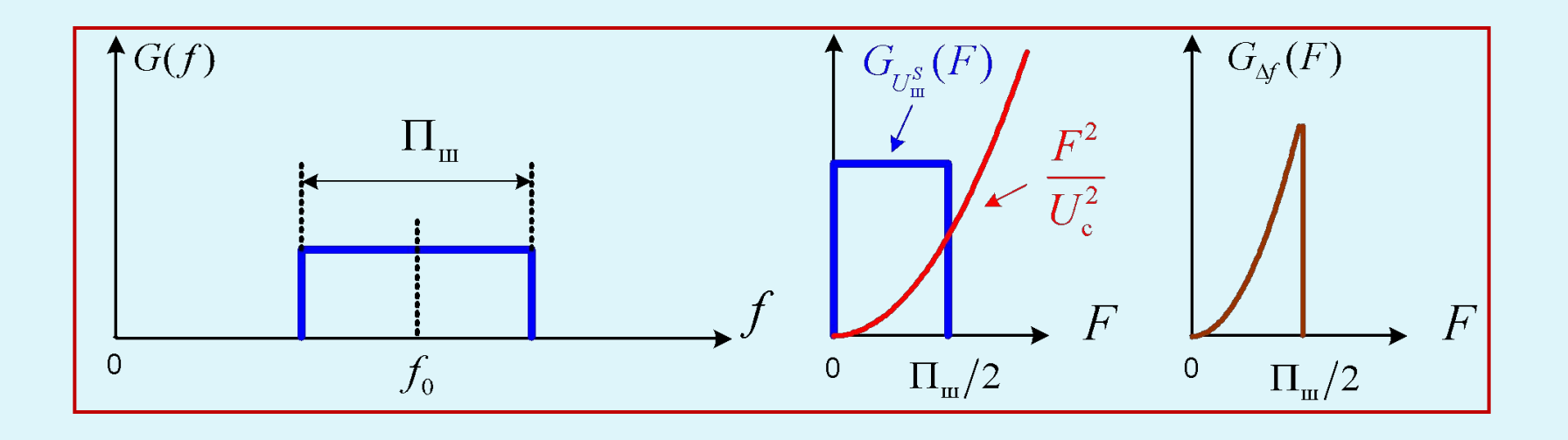
Аномальный выброс



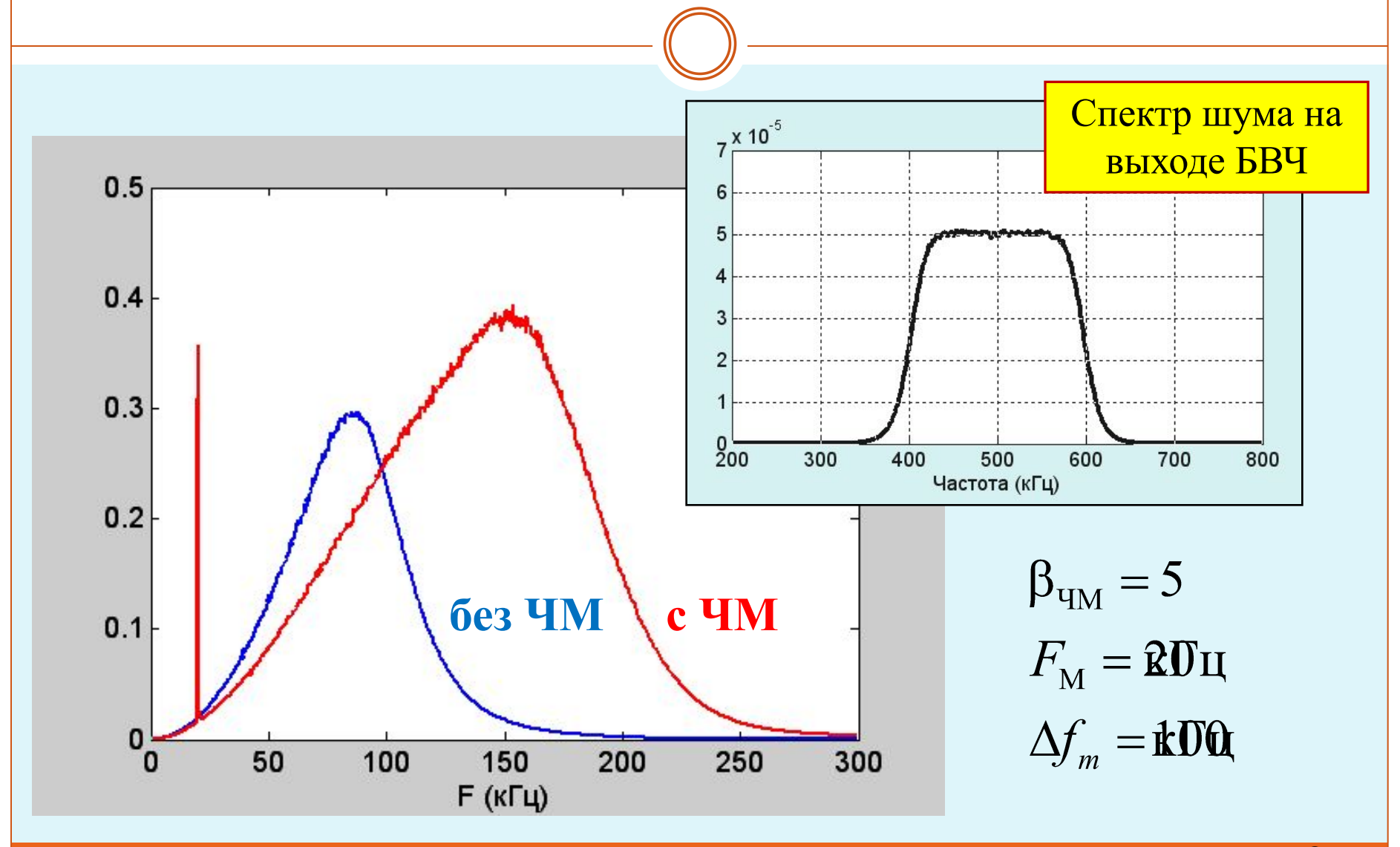
Энергетический спектр мгновенной частоты при а >> 1



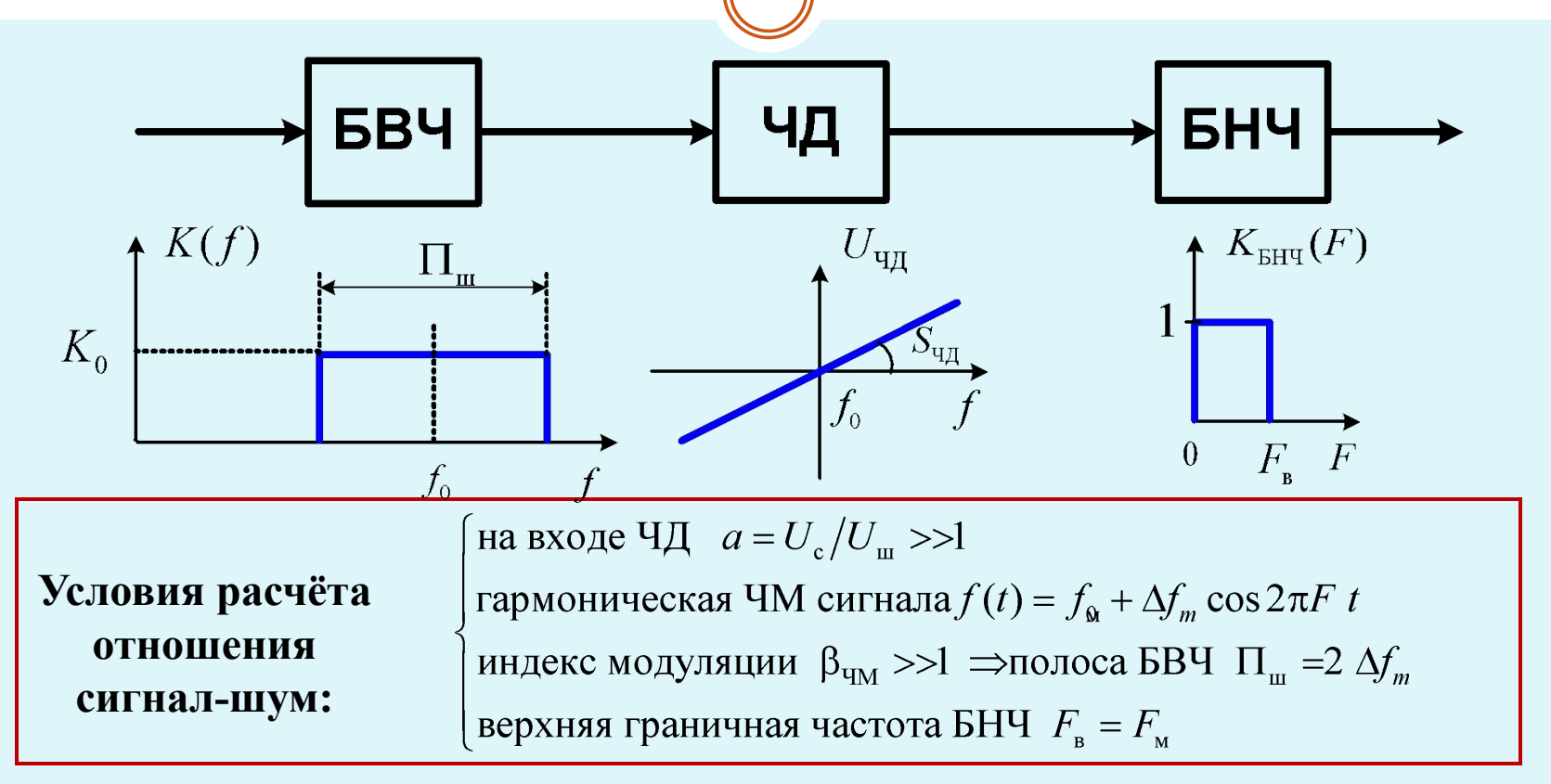
$$G_{\Delta f}(F) \approx \frac{F^2}{U_{\rm c}^2} G_{U_{\rm ini}^S}(F)$$



Энергетический спектр напряжения на выходе ЧД (а = 10)



Отношение сигнал-шум на выходе приёмника ЧМ сигнала



Сигнал — математическое ожидание напряжения на выходе БНЧ при действии на входе приёмника смеси **ЧМ сигнала** и белого шума

Шум – случайная составляющая напряжения на выходе БНЧ при действии на входе приёмника смеси **немодулированного сигнала** и белого шума

Вывод формулы при а >> 1



$$q_{\text{вых}} = \frac{P_{\text{с. вых}}}{P_{\text{ш. вых}}} = \frac{U_{\text{с. вых}}^2}{2\sigma_{\text{ш. вых}}^2}$$

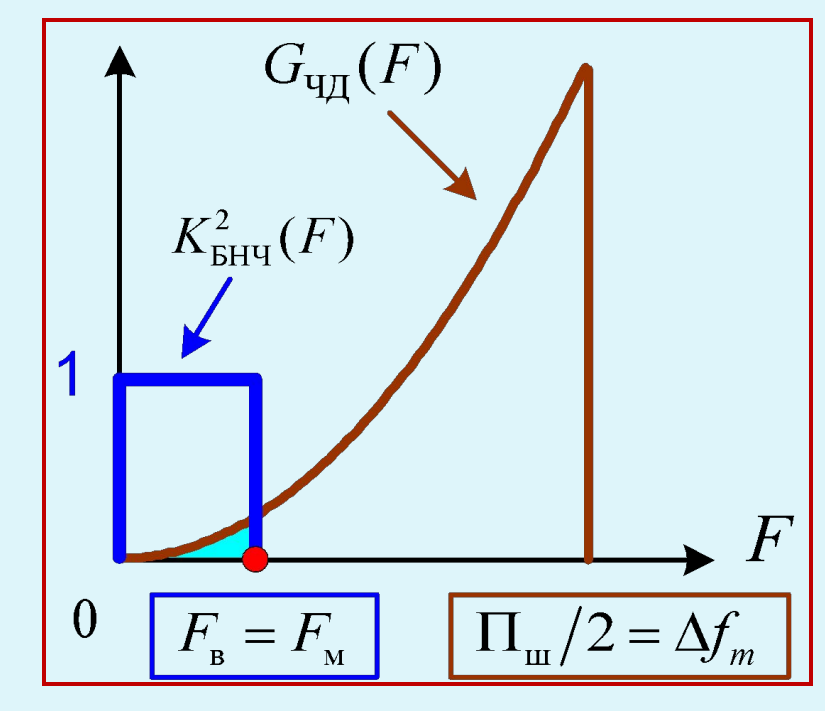
Сигнал
$$u_{\text{с. вых}}(t) = K_{\text{БНЧ}} S_{\text{ЧД}} \left(f(t) - f_0 \right) \underset{\text{т.к. } a >> 1}{\approx} K_{\text{БНЧ}} S_{\text{ЧД}} \left(f_{\text{c}}(t) - f_0 \right) \Big|_{K_{\text{БНЧ}=1}} = S_{\text{ЧД}} \Delta f_m \cos 2\pi F_{\text{м}} t$$

Амлитуда сигнала
$$U_{\text{с. вых}} = S_{\text{ЧД}} \Delta f_m$$
Дисперсия шума $\sigma_{\text{ш. вых}}^2 = \int_0^S G_{\text{ЕНЧ}}(F) dF =$

$$= \int_0^\infty K_{\text{ЕНЧ}}^2(F) G_{\text{ЧД}}(F) dF = \int_0^{F_{\text{M}}} G_{\text{ЧД}}(F) dF \approx$$

$$\approx \int_0^F S_{\text{ЧД}}^2 \frac{F^2}{U_{\text{c}}^2} G_{U_{\text{m}}^{\text{S}}}(F) dF = \int_0^{F_{\text{M}}} S_{\text{ЧД}}^2 \frac{F^2}{U_{\text{c}}^2} \cdot 2K_0^2 G_0 dF =$$

$$= \frac{2K_{\text{ЧД}}^2 G_0 S^2}{U^2} \cdot \frac{F_{\text{M}}^3}{3}$$



Вывод формулы при а >> 1 (окончание)

$$=\frac{\left(S_{\text{ЧД}}\Delta f_{m}\right)^{2}}{2\cdot\frac{2K_{\text{ЧД}}^{2}G_{0}S^{2}}{U_{c}^{2}}\cdot\frac{F_{M}^{3}}{3}\cdot\frac{\Delta f_{m}}{\Delta f_{m}}}=$$

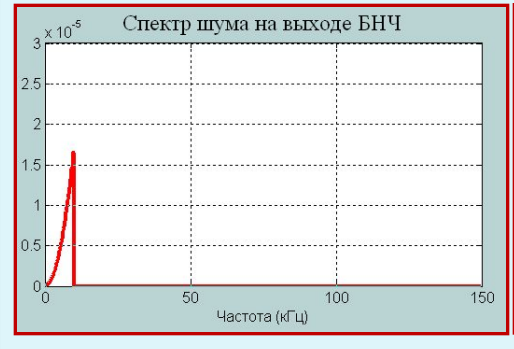
$$=3\frac{U_{c}^{2}/2}{K_{\rm BBH}^{2} G \Pi_{\rm m}}\beta_{\rm HM}^{3}=3q_{\rm BX}\beta_{\rm HM}^{3}$$

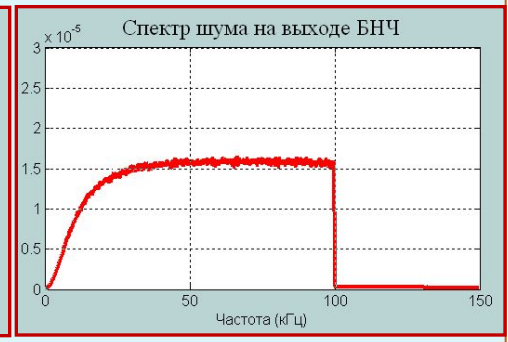
$$q_{\text{вых}} = 3q_{\text{вх}}\beta_{\text{чм}}^{3}$$
 (при $a >>1$)

Влияние формы АЧХ БНЧ

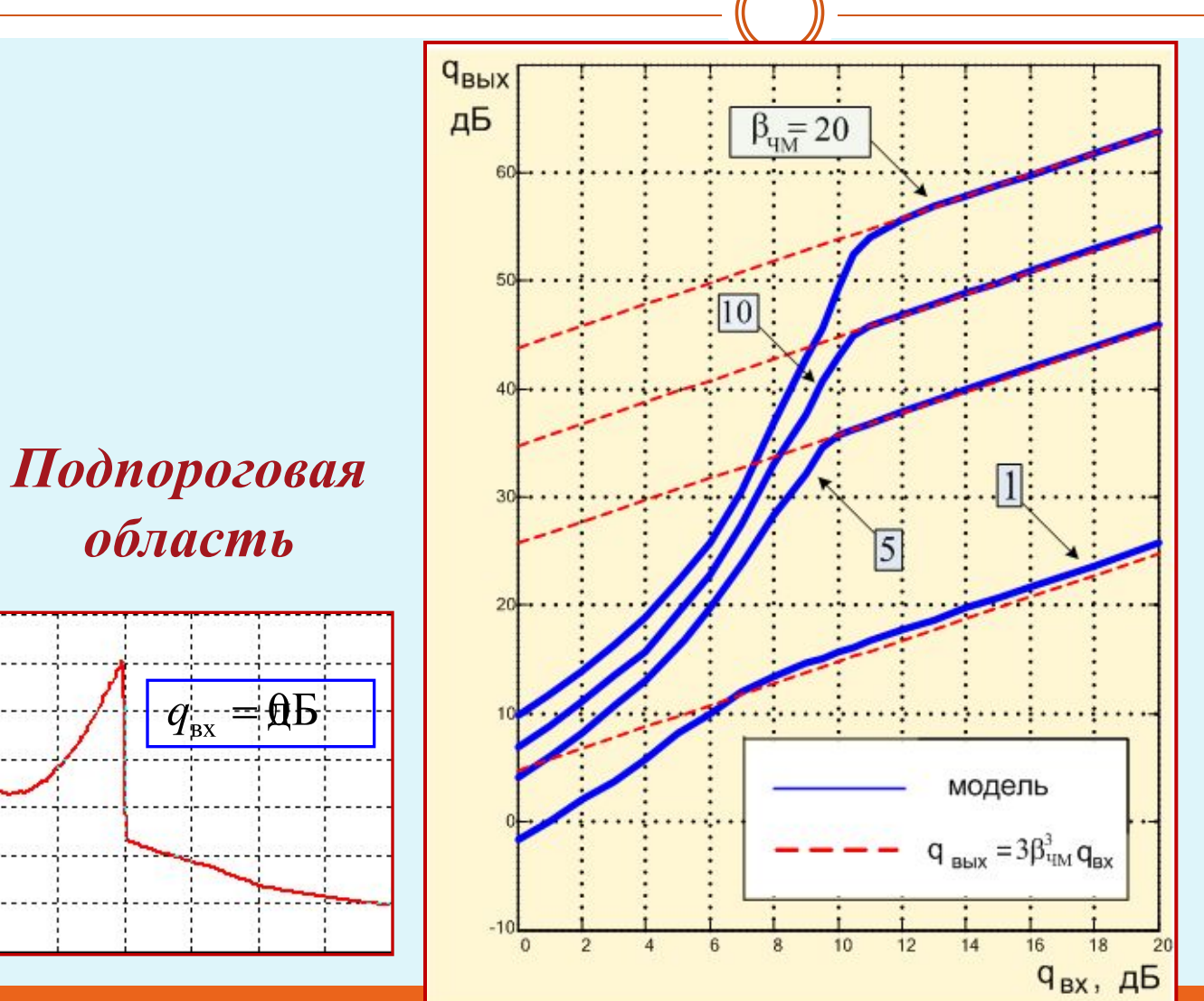








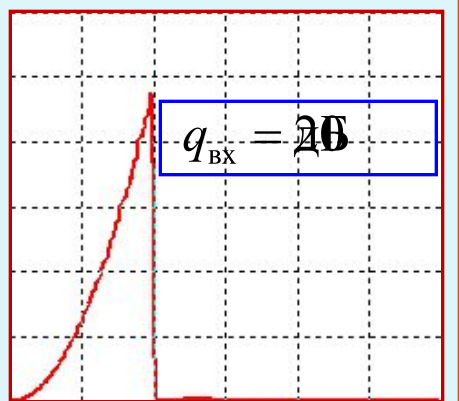
Пороговые кривые $q_{_{\mathrm{BЫX}}}(q_{_{\mathrm{BX}}})$



область

 $= \mathfrak{g}_{\overline{b}}$

Надпороговая область



Порог:

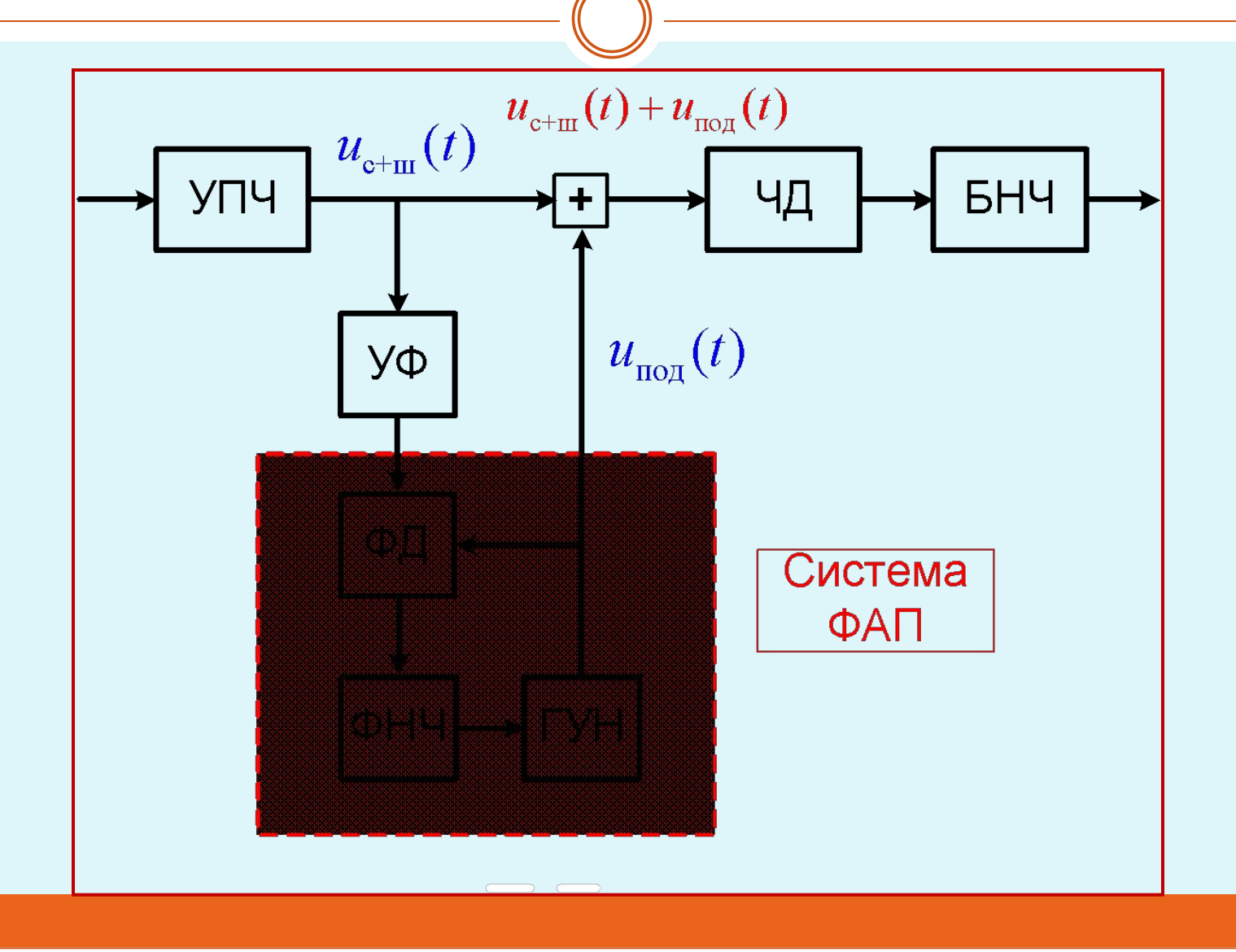
$$q_{\text{вх. п}} = 745 - 12$$

 $a_{\text{п}} = 3 - 5$

Методы повышения качества приёма ЧМ сигнала

Задача	Метод
1. Выравнивание отношения сигнал-шум на выходе приёмника в интервале частот	Предыскажение модулирующего колебания и частотная коррекция демодулированного колебания
2. Уменьшение порогового отношения сигнал-шум путём увеличения амплитуды несущей	Синхронный приём (регенерация несущей)
3. Уменьшение порогового отношения сигнал-шум путём уменьшения мощности шума на входе ЧД	Приём с обратной связью по частоте (ОСЧ)

Метод синхронного приёма (регенерация несущей)

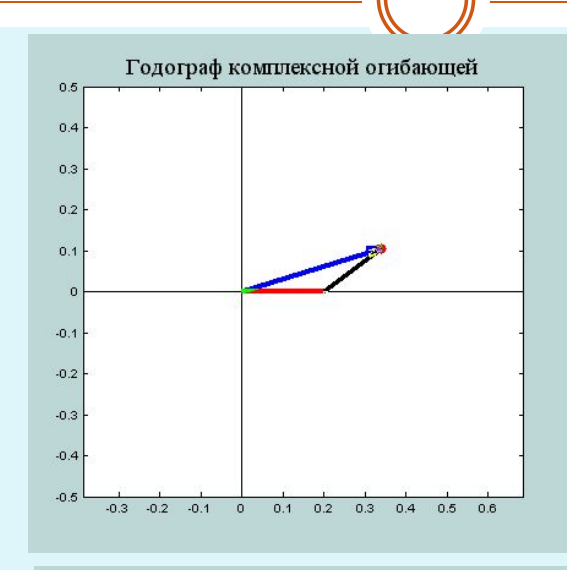


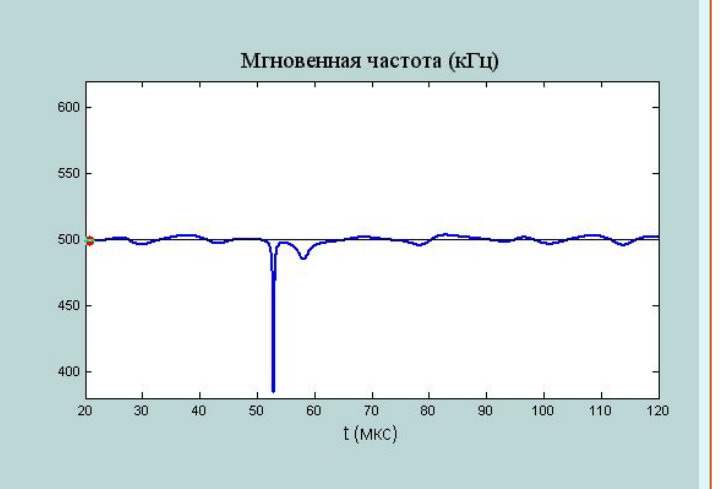
Смесь сигнала без ЧМ и шума

Без «подкачки»

$$U_{_{\rm III}} = 0,1$$

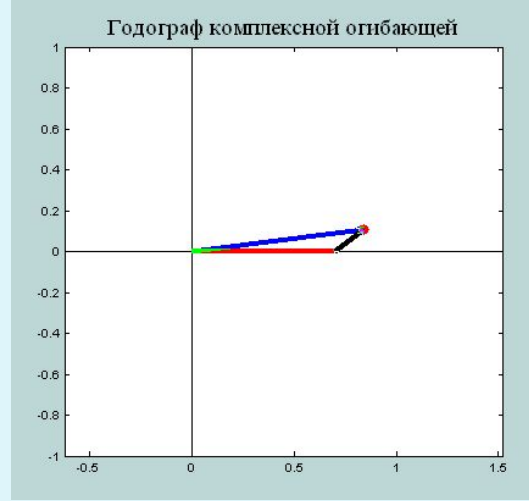
$$U_{\rm c} = 0, 2$$

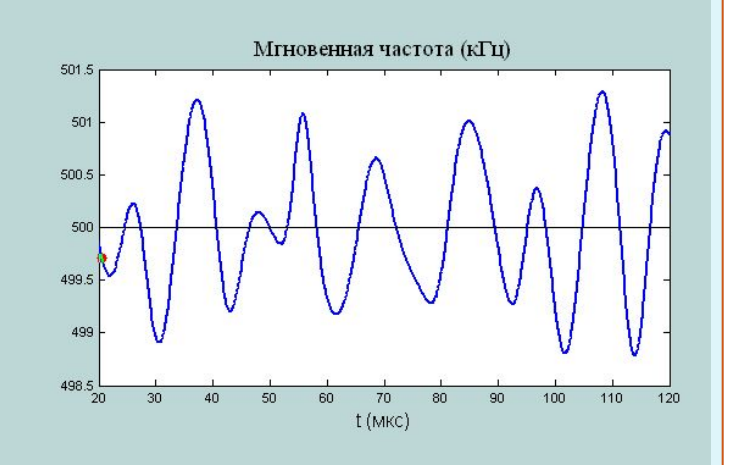




С «подкачкой»

$$U_{\text{под}} = 0,5$$





Смесь ЧМ сигнала и шума

Без «подкачки»

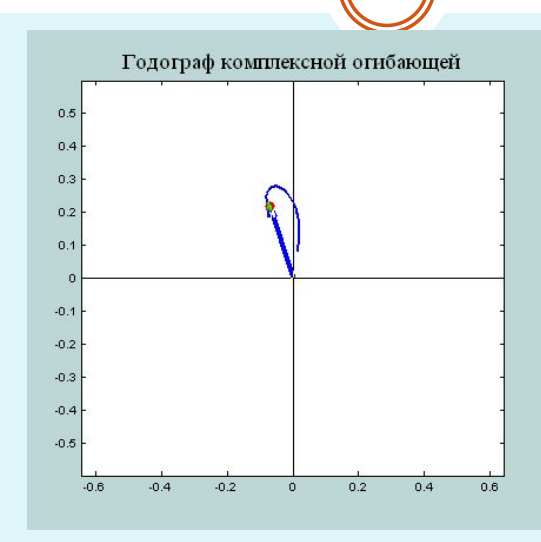
$$U_{\text{III}} = 0.1$$

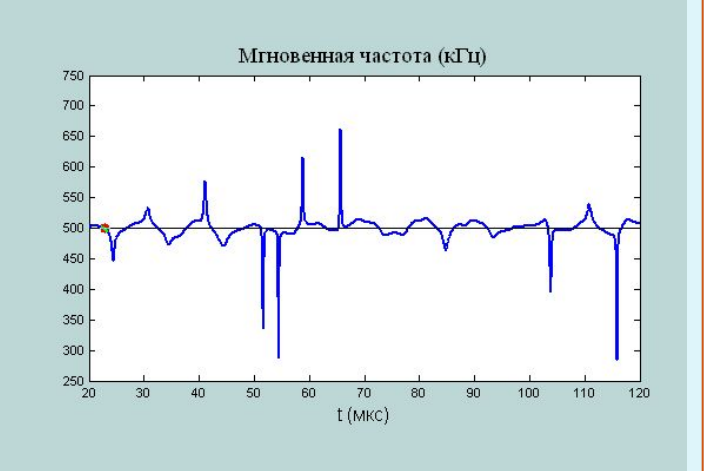
$$U_{\text{c}} = 0.2$$

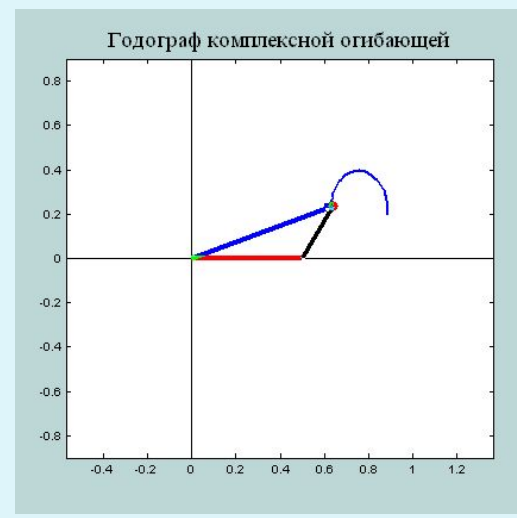
$$\beta_{\text{YM}} = \pi/2 \approx 1.6$$

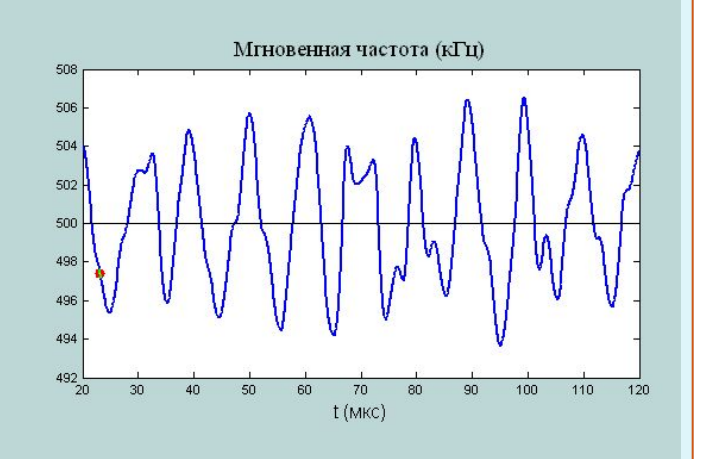
С «подкачкой»

$$U_{\text{пол}} = 0,5$$









Нелинейные искажения закона ЧМ (гармоническая ЧМ)

Частота

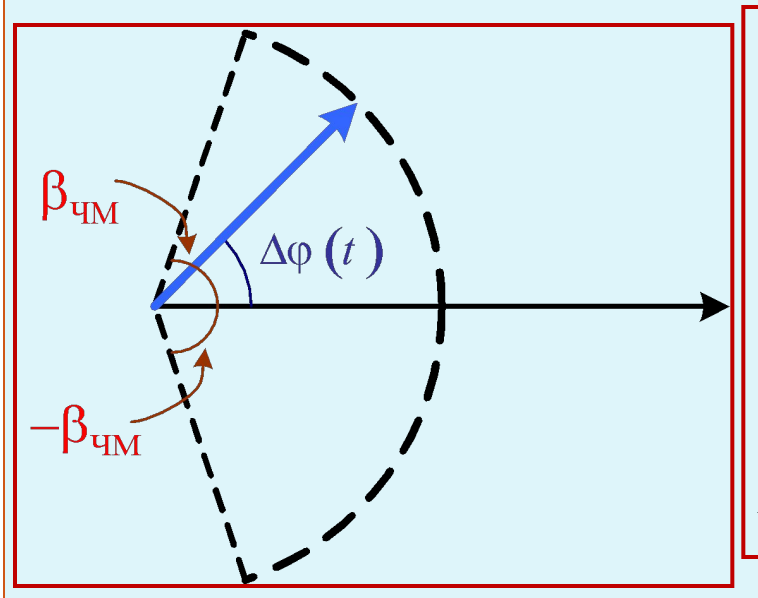
$$\omega(t) = \omega_{\omega} + \Delta \omega_m \cos \Omega t$$

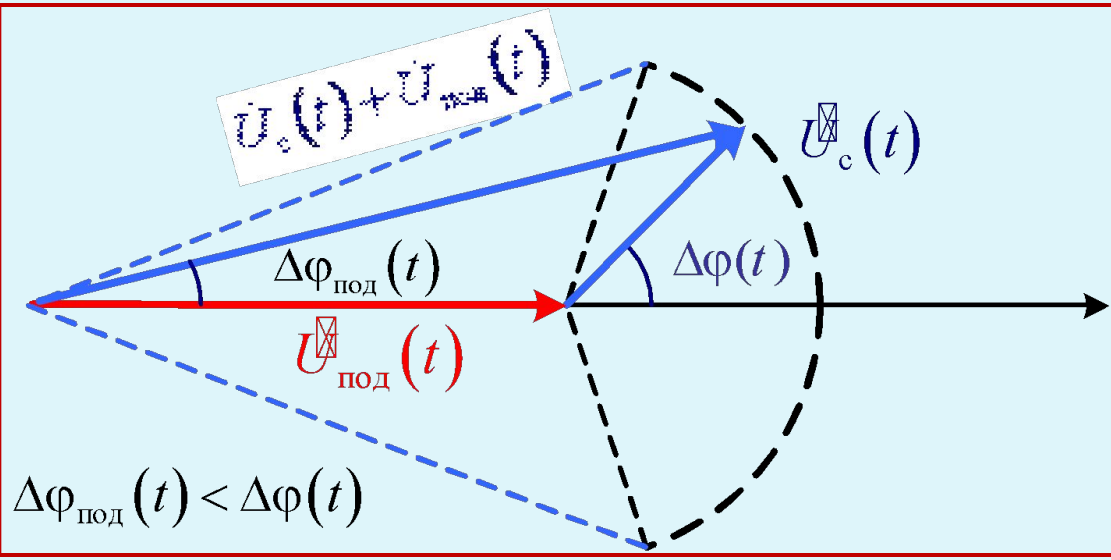
Полная фаза

$$\varphi(t) = \omega_{\text{MM}} + \beta \quad \sin \Omega \, t = \omega \, t + \Delta \varphi(t)$$

$$\Delta \varphi(t) = \Delta \varphi_{\max} \sin \Omega \ t$$

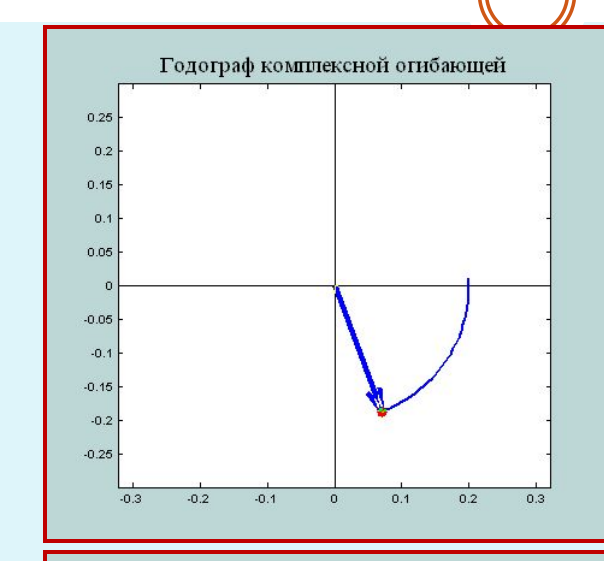
$$\Delta \phi_{\text{Hills}} = \beta$$

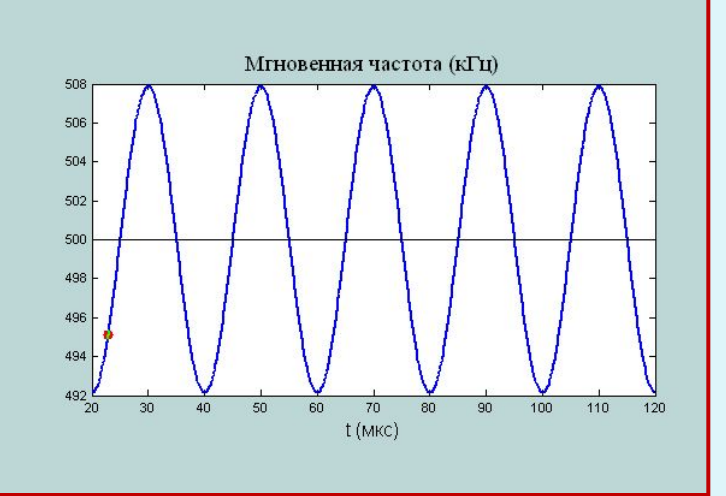




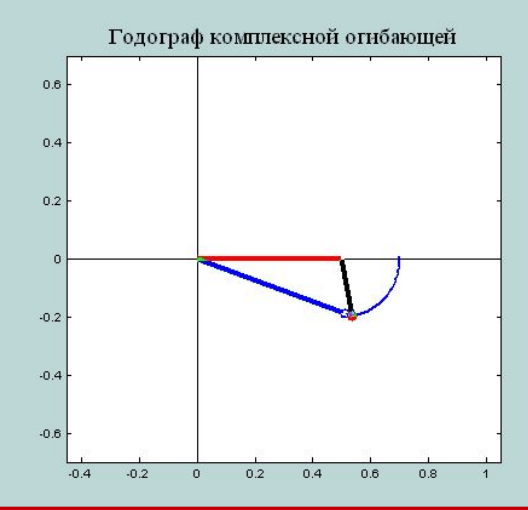
$\mathbf{\textit{4M}}$ сигнал, $\beta_{\text{чм}} = \pi/2$

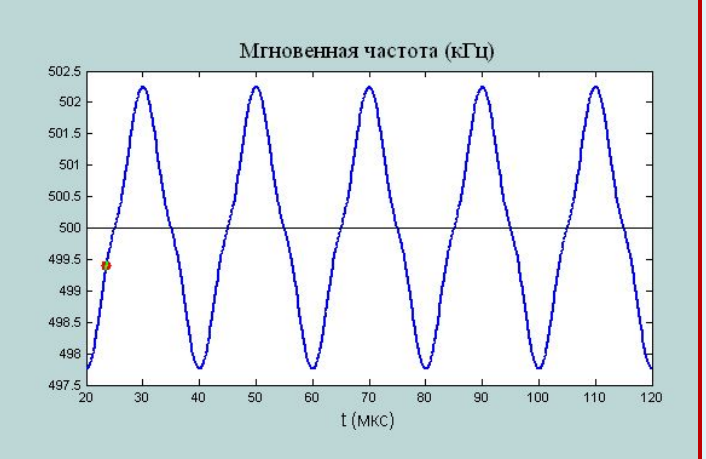






С «подкачкой»

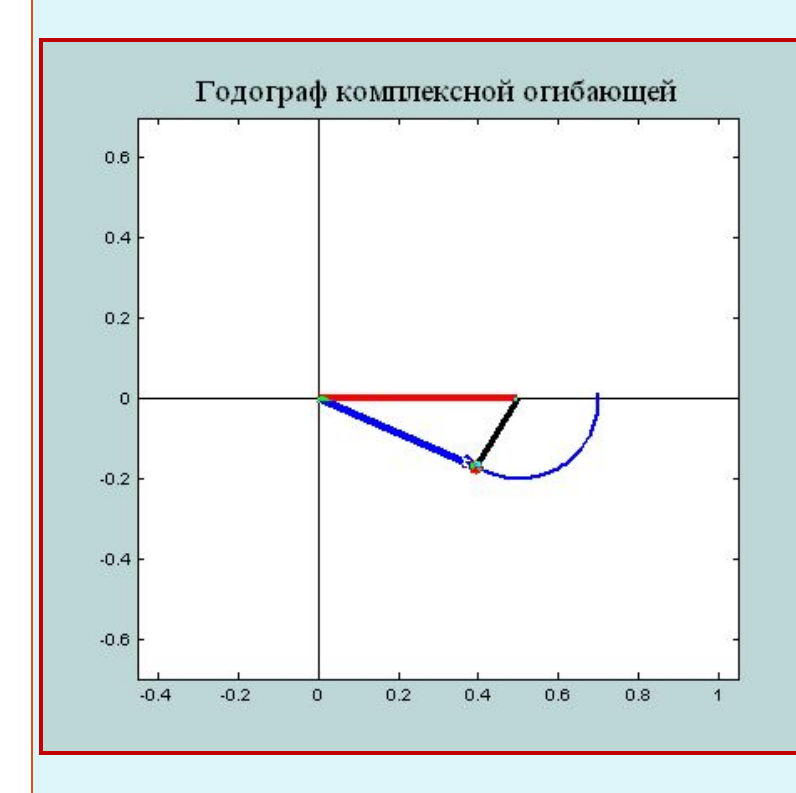


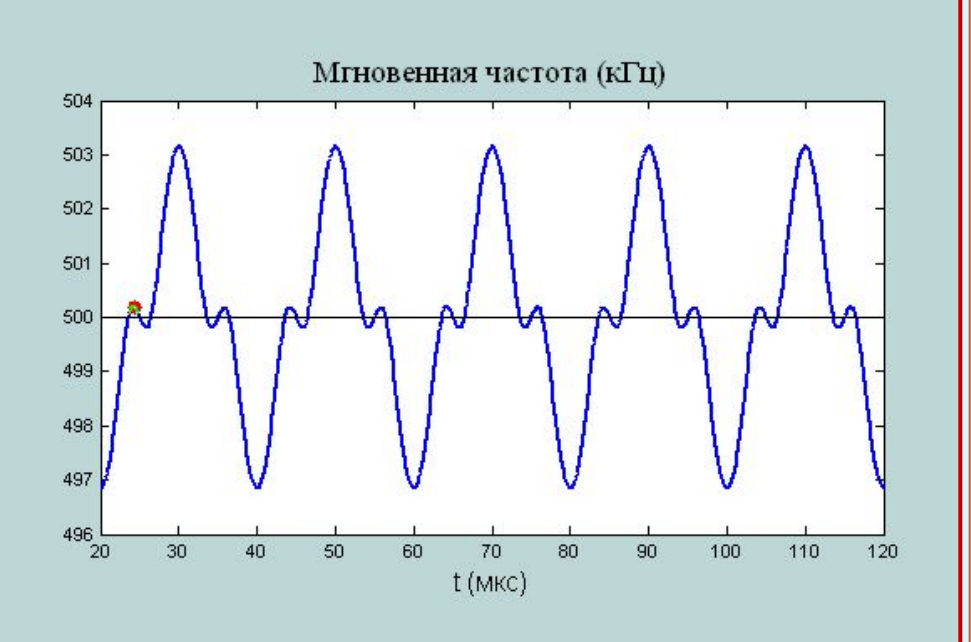


ЧМ сигнал, $\beta_{\rm ЧM} > \pi/2$



С «подкачкой»





Приём с обратной связью по частоте (ОСЧ)

